UNIVERSIDADE ESTADUAL DE CAMPINAS

FACULDADE DE ENGENHARIA AGRICOLA

Storecer

Este enemplar conesponde a redacar final da dissertarar de Mestrado de fendida por Pailo Roberto Mun de Figuerado e aprovada pela Commos Tuljadora em 06 de dozembro de 1991. Campinas, 30 de marco de 1992.

OTIMIZAÇÃO DO DESEMPENHO DE UMA MAQUINA DE PREPARO MINIMO DE

SOLO

POR

PAULO ROBERTO ABREU DE FIGUEIREDO 1660

Orientador:

Prof. Dr. Paulo Sergio Graziano Magalhães

Dissertação apresentada como cumprimento parcial dos requisitos para a obtenção do Titulo de Mestre em Engenharia Agricola: àrea de concentração Máquinas Agricolas.

Campinas - SP

Dezembro - 1991

A minha mãe

Maria Tereza (in memorian)

e ao meu pai

Epiphānio

OFEREÇO

A namorada
Eloàh
aos meus irmãos
Valèria, Claudio e Maria Thais
e a sobrinha Ana Paula
DEDICO

AGRADECIMENTOS

Ao Professor Paulo Sèrgio Graziano Magalhães, pela orientação, apoio e amizade.

Aos colegas Arsenio Sattler, Geraldo Ferreti, João Carlos, Pedro Henrique, pelo auxilio nas determinações de campo.

Aos funcionários Luis Carlos, Dèrcio, Josè Maria, Francisco, pela dedicação e esforço nas adaptações da máquina.

Aos funcionàrios do campo experimental pelo auxilio nas determinações do ensaio.

Ao Centro Pluridisciplinar de Pesquisas Quimicas, Biològicas e Agricolas (CPQBA) da UNICAMP, em especial ao diretor de experimentação Pedro Magalhães, o têcnico Urbano e ao tratorista Moisès. Pelo apoio e amizade.

A todos os colegas da pos-graduação, pelo apoio e amizade.

Ao professor Carlos Antonio Gamero UNESP Botucatu, pela colaboração e amizade.

Aos técnicos Célia Gonsalves e Paulo Albuquerque, pelo auxilio nas anàlises de solo.

As secretàrias da pós-graduação Célia e Ana e do DMA Aparecida. Pelo apoio e amizade.

Aos professores e funcionários da FEAGRI pelo apoio e amizade.

A minha prima Maria Thereza pela amizade e correção do texto.

A Marchesan pelas hastes utilizadas na maguina.

A CAPES pela manutenção durante o curso.

SUMARIO

Pagina
DEDICATORIAii
AGRADECIMENTOSiii
LISTA DE TABELASviii
LISTA DE FIGURAS
LISTA DE ANEXOSxi
LISTA DE SIMBOLOSxiii
RESUMOxv
1 INTRODUÇÃO01
2 OBJETIVOS04
3 REVISÃO BIBLIOGRAFICA06
3.1 Preparo do solo como causa da erosão06
3.2 Sistemas de preparo minimo e reduzido do solo07
3.3 Comparações entre tipos de preparo do solo09
3.4 Avaliações da operação de preparo do solo13
3.5 Operações de arados escarificadores e cinzel14
3.6 Desempenho dos implementos de hastes em função da
geometria16
4 ASPECTOS TEORICOS
4.1 Critèrio de escolha e dimensionamento das hastes
e ponteiras20

	4.2	Fundamento teòrico21
	4.3	Seleção e dimensionamento das hastes e ponteiras.22
		4.3.1 Seleção22
		4.3.2 Dimensionamento24
5	MATI	ERIAL E METODOS28
	5.1	Solo28
	5.2	Măquina e implementos usados no preparo do solo29
	5.3	Area do perfil mobilizado30
	5.4	Delineamento estatistico e analise dos dados34
	5.5	Tratamentos
	5.5	Cobertura do solo35
	5.7	Resistência à penetração do solo40
	5.8	Velocidade de deslocamento durante o ensaio40
	5.9	Operação de preparo do solo40
	5.10	Presença de plantas invasoras41
	5.11	l Porcentagem de agregados por classe de tamanho e
		diâmetro mèdio geomètrico42
	5.12	2 Consumo de combustivel43
6	RESU	JLTADOS E DISCUSSÃO46
	6.1	Cobertura do solo46
	6.2	Area do perfil mobilizado48
	6.3	Controle de plantas invasoras49
	6.4	Diâmetro mèdio geomètrico dos agregados53
	6.5	Porcentagem de peso retido por classe de agrega-
		dos55
	6.6	Consumo de combustivel57
	6.7	Consumo de combustivel por àrea de solo mobiliza-

		da	59
(6.8	Biomassa presente na àrea antes do ensaio	60
(6.9	Velocidade de deslocamento do trator durante o	
		ensaio	61
7	CO	NCLUSÕES	63
8	RE(COMENDAÇÕES	65
9	SU	MARY	66
10	RE	FERENCIAS BIBLIOGRAFICAS	. 68
11	ANT	ryns	77

LISTA DE TABELAS

TABELA	PAGINA
1 - Perfil mobilizado teórico obtido pelo metodo	
de Goodwin & Spoor (1977)	26
2 - Atividades desenvolvidas na àrea a partir de	:
1983	29
3 - Densidade global do solo	30
4 - Propriedades fisicas e mecânicas do solo e	
teor de umidade durante o preparo do solo	31
5 - Tratamentos realizados no ensaio de campo	39
6 - Cobertura do solo com residuos vegetais	47
7 - Area mėdia do perfil mobilizado do solo	51
8 - Presença de ervas daninhas por metro quadrado	•
com leitura seis dias após o preparo do solo.	52
9 - Presença de ervas daninhas doze dias após o	
preparo do solo	53
11 - Diâmetro mèdio gomètrico (mm)	54
12 - Porcentagem de peso por classe de agregados	56
13 - Consumo de combustivel em 1/ha	58
14 - Consumo de combustivel em ml/cm ²	59

15	****	Biomassa presente na área do ensaio em ton/ha	
		em 29.10.90	61
16	***	Velocidade de deslocamento durante o ensaio	62

LISTA DE FIGURAS

FIGURA		PAGINA
1 -	Modelo de ruptura lateral eliptico proposto	
	por GOODWIN & SPOOR	25
2 -	Maquina de preparo minimo utilizada no ex-	
	perimento	32
3 -	Croqui da àrea experimental	36
4 -	Haste rigida utilisada para profundidades de	
	17 cm e a ponteira de 45º à esquerda e haste	
	utilizada para 27 cm e ponteira de 65º à es-	
	querda	37
5 -	Haste flexivel para profundidade de 17 cm à	
	esquerda e de 27 cm á direita	38
6 -	Desenho esquemàtico das hastes flexiveis	38
7 -	Esquema do aparelho medidor de combustivel	44
8 -	Gràfico comparativo dos perfis teóricos e	
	os obtidos no ensaio de campo	50

LISTA DE ANEXOS

ANEXO	PAG:	[NA
I	Valores de cobertura do solo em porcentagem	74
II	Valores obtidos para área de solo mobilizado	75
III	Valores obtidos para presença de plantas invaso-	
	ras 6 dias após o preparo em plantas por m²	76
IV	Valores obtidos para presença de plantas invaso-	
	ras 12 dìas após o preparo em plantas por m²	77
V	Valores obtidos para o diâmetro médio geométri-	
	co em (mm)	78
VI	Valores obtidos para consumo de combustivel em	
	1/ha	79
VII	Valores obtidos para consumo de combustível em	
	ml/cm²	80
VIII	Valores obtidos de biomassa presente na área em	
	ton/ha	81
IX	Valores obtidos para velocidade de deslocamento	
	do conjunto trator/implemento durante o trabalho	82
X	Valores obtidos para porcentagem de agregados por	

	classe de tamanho	83
XI	Esquema da analise de variancia	84
XII	Mèdia, desvio padrão, coeficiente de variação e	
	diferença minima significativa ao nivel de 5% de	
	probabilidade dos parâmetros estudados	85
IIIX	Dados diàrios de precipitação para os meses de	
	janeiro a novembro de 1990	86
XIA	Perfil mobilizada do solo do tratamento MR1	87
VX	Perfil mobilizado do solo do tratamento MR2	88
IVX	Perfil mobilizado do solo do tratamento MR3	89
XVII	Perfil mobilizado do solo do tratamento MR4	90
XVIII	Perfil mobilizado do solo do tratamento MF5	91
XIX	Perfil mobilizado do solo do tratamento MF6	92
XX	Perfil mobilizado do solo do tratamento PSC	93
IXX	Detalhe da parcela do bloco I após a ação da MPM	
	com os tratamentos MR1 e MR2	94
XXII	Detalhe da parcela do bloco I após a ação da MPM	
	com os tratamentos MR3 e MR4	95
XXIII	Detalhe da parcela do bloco I após a ação da MPM	
	com os tratamentos MF5 e MF6	96
XXIV	Detalhe da parcela do bloco I após a ação do tra-	
	tamento PSC e o rolo de corte	97
XXV	Perfis teòricos obtidos pelo modelo de Goodwin &	
	Spoor (1977)	98

LISTA DE SIMBOLOS

MPM	Maquina de Preparo Minimo
P	Força de tração total do implemento
g	Aceleração da gravidade
8	Densidade global do solo
С	Coesão do solo
ca	Força de adesão do solo ao implemento
đ	Profundidade de trabalho
P	Pressão de sobrecarga vertical que atua sobre
	o implemento
w	Largura do implemento
N,Nc e Nq	Fatores dependentes da força de atrito do so-
N,Nc e Nq	Fatores dependentes da força de atrito do so- lo, geometria do implemento e forças presentes
N,Nc e Nq	
N,Nc e Nq ∝	lo, geometria do implemento e forças presentes
	lo, geometria do implemento e forças presentes na relação implemento/solo.
οc	lo, geometria do implemento e forças presentes na relação implemento/solo. Angulo de ataque da ferramenta
oc s	lo, geometria do implemento e forças presentes na relação implemento/solo. Angulo de ataque da ferramenta Distância máxima de ruptura lateral
∞ s 6	lo, geometria do implemento e forças presentes na relação implemento/solo. Angulo de ataque da ferramenta Distância máxima de ruptura lateral Angulo de atrito solo/metal
oc s 6	lo, geometria do implemento e forças presentes na relação implemento/solo. Angulo de ataque da ferramenta Distância máxima de ruptura lateral Angulo de atrito solo/metal Raio de ruptura lateral

MR2	Tratamento com haste rigida, ponteira com 45º
	de ângulo de ataque e 17 cm de profundidade de
	de trabalho das hastes dianteiras e 27 cm as
	traseiras.
MR3	Tratamento com haste rigida, ponteira com 65º
	de ângulo de ataque e profundidade de trabalho

MR4 Tratamento com haste rigida, ponteira com 65º de ângulo de ataque e 17 cm de profundidade de de trabalho das hastes dianteiras e 27 cm as traseiras.

de 27 cm para as 5 hastes.

MF5 Tratamento com haste flexivel, ponteira com 200 de ângulo de ataque e profundidade de trabalho de 27 cm para as 5 hastes.

MF6 Tratamento com haste flexivel, ponteira com 200 de ângulo de ataque e 17 cm de profundidade de trabalho das hastes dianteiras e 27 cm as traseiras.

PSC Preparo do solo convencional. Uma aração e duas gradagens

RESUMO

Este trabalho procurou melhorar o desempenho de uma maquina de preparo minimo do solo a partir da avaliação de ponteiras com diferentes angulos de ataque e profundidades das hastes dianteiras. Objetivou, ainda, determinar as diferenças existentes entre o trabalho realizado pela máquina e um sistema de preparo convencional de solo.

Os resultados obtidos mostraram que a máquina, independente da haste utilizada, possui um eficiente sistema de corte de residuos de cultura e vegetação na superfície do presente no terreno. Verificou-se também que é possível um trabalho mais superficial das hastes dianteiras de um escarificador sem prejuízo significativo da área mobilizada no solo.

A máquina de preparo mínimo do solo, por não revolver o solo, deixou na superfície significativa quantidade de resíduos e controlou de forma satisfatória a infestação de plantas invasoras.

No que tange à mobilização do solo, a maquina de preparo minimo de forma geral, deixou o solo menos desagregado que o sistema de preparo convencional.

1. INTRODUCÃO

O efeito ambiental provocado pela exploração econômica dos recursos naturais, com danos irreparáveis causados ao meio ambiente, leva-nos a repensar não apenas o conceito de progresso como também estudar novas formas de convivio e a relação homem/natureza. A importância da questão, de caráter universal, provocou a realização no Rio de Janeiro da ECO 92.

O processo de desgaste dos recursos naturais, dentre os quais, a exploração agropecuária, com a adoção de tecnologias sem nenhuma adaptação, causou de forma comprometedora a desagregação de parte considerável dos solos agricolas no Brasil. Pois, como comenta SHIKI (1984) " a maioria dos equipamentos não sofreu modificações no seu projeto original para uso em solos plásticos de regiões tropicais".

Dentre as operações agricolas, o preparo inadequado do solo è comprovadamente a que mais causa erosão, gerando grande demanda em alternativas eficientes para a conservação

dos solos - principalmente - porque as consequências desse processo se estendem muito além das propriedades agricolas.

Como consequências diretas dessa ação destruidora destacam-se de forma visivel e quase imediata o assoriamento de rios, reduzindo-lhes o potencial hidroenegêtico e a navegabilidade, bem como a contaminação da água de mananciais por agrotóxicos levados pela água das chuvas misturada com terra.

Devido essa crescente necessidade de tecnologias eficientes para a conservação dos recursos naturais e mais agudamente dos solos cultivados, tem-se buscado opções de sistemas de preparo do solo que provoquem menor desagregação do solo e conservem maior quantidade de cobertura morta na superficie, afim de reduzir o processo erosivo.

Entre as alternativas existentes, destacam-se os sistemas de preparo minimo do solo, definidos como processos de movimentação parcial do solo, e a técnica do plantio direto. O preparo minimo è um sistema viàvel técnica e economicamente, cuja maior limitação esta nas máquinas existentes, com adoção possível numa área territorial bem maior, já que o plantio direto não se adapta bem na maioria regiões devido ao solo e o clima.

O preparo minimo è um sistema de preparo do solo que revolve pouco o solo, porque è realizado com implementos de hastes estreitas. Permite, pois, que o solo permaneça coberto com residuos de culturas, protegendo-o contra a erosão.

Com vistas voltadas para essa problemàtica, deu-se a origem deste trabalho que procura estudar o desempenho de uma màquina de preparo minimo, bem como, comparar o seu resultado ao produzido por um sistema convencional de preparo do solo.

A proposta baseia-se em experiências que confirmam que o preparo do solo realizado por implementos de hastes estreitas, como os escarificadores e a maquina objeto deste trabalho, desagregam pouco o solo. Por promoverem parcialmente a inversão da faixa trabalhada, permitem que boa parte da cobertura morta permaneça na superficie. Requisitos, estes, que são exigidos para se qualificar um preparo do solo como conservacionista.

2. OBJETIVOS

1-Gerais

Otimizar e caracterizar o trabalho de uma maquina de preparo minimo de solo (MPM) projetada por JUSTINO & MAGALHAES (1990), a partir da seleção e teste de diferentes ângulos de ataque para ponteira e profundidade das hastes dianteiras.

Estudar as alterações produzidas no solo, ou seja pelo trabalho realizado com a máquina de preparo minimo para ás duas ponteiras propostas e as duas profundidades das hastes dianteiras. Comparando-os entre si e com os resultados obtidos por um sistema de preparo do solo convencional (arado de disco e grade).

2-Especificos

a) Determinar qual ângulo de ataque das hastes propostas produz o distúrbio que se pretende do solo, ou seja; maior perfil mobilizado, maior diâmetro geomètrico e maior presença de residuos no solo após a operação de preparo.

- b) Verificar a melhor composição do implemento entre duas profundidades das hastes dianteiras, a 17 cm e a 27 cm.
- c) Comparar o trabalho produzido pelo implemento de preparo reduzido do solo, nas diferentes composições propostas, contra o trabalho produzido pelo preparo convencional do solo.

3. REVISÃO BIBLIOGRAFICA

3.1 Preparo do solo como causa de erosão

A constante exposição do solo à ação dos agentes climáticos é uma realidade na agricultura sulbrasileira, principalmente nas regiões de trigo/soja. Pesquisas levadas a cabo nos Estados Unidos demonstram que, no periodo de um ano, as gotas de chuva exercem na area de um hectare de solo nu, um impacto de energia equivalente a 25 toneladas de dinamite (MONDARDO et al., 1977).

O impacto sócio ambiental pelo uso da motomecanização no Brasil, pode ser melhor entendido atravês de uma visão retrospectiva que passa pela adoção de um padrão tecnológico de uso intensivo de capital representado pelas máquinas e insumos agricolas (CASÃO JR., 1989).

As prâticas de preparo do solo são importantes na resistência à erosão e no desenvolvimento das culturas. A não adoção de prâticas conservacionistas adequadas provoca râpida degradação da matéria orgânica, dos nutrientes e das

caracteristicas fisicas do solo, tornando as lavouras muito sucetiveis a seca, SIDIRAS et al. (1981).

VIEIRA (1985) considera que dos fatores que influem sobre a erosão talvez seja o preparo do solo um dos mais importantes, porque dependendo do tipo de implemento, da intensidade e da forma de uso, o solo apresenta determinado comportamento, que repercutirá na produtividade das culturas e erosão do solo. Argumenta ainda que, devido aos efeitos e variáveis envolvidas, há necessidade de soluções diferenciadas para cada região.

Hoje, principalmente pela pràtica do plantio direto, sabe-se que não è necessário, forçosamente, que o solo seja mobilizado para que as plantas atinjam condições apropriadas de desenvolvimento (Casão Jr et al., 1990).

3.2 - Sistemas de preparo minimo e reduzido do solo

Para um sistema ser qualificado de preparo minimo, uma quantidade minima de 20 a 30% de residuos de cultura deve ser deixada sobre a superficie do solo, sendo que uma parte serà incorporada de 7 a 10 cm de profundidade (HAYES, 1982).

LOMBARDI NETO et al. (1988) avaliaram perdas por erosão de solo numa área coberta com diferentes quantidades de residuos de milho. O experimento foi realizado em um Latossolo Roxo. Os autores verificaram que as perdas de solo com a presença de 2000 kg/ha de residuos de milho teve uma redução de 50% e para 8000 kg/ha de residuos a redução de solo foi de 90% Concluem que a presença de residuos de milho reduz as perdas de solo.

No entendimento de VIEIRA (1987), o cultivo reduzido do solo è aquele sistema em que o revolvimento pelos implementos de preparo permitem a permanência de percentagens altas de cobertura vegetal, viva ou morta, na superficie do solo; porêm, movimentam demasiado o perfil do solo para que sejam definidos como plantio direto.

ORTIZ-CAÑAVATE (1980) descreve o cultivo minimo como sendo a realização simultânea de vàrias operações, orientadas a deixar o terreno em condições de semeadura com o minimo indispensável movimento do terreno.

Para MAZUCHOSWSKI & DERPSCH (1984) escarificação è um tipo de preparo reduzido que deve romper o solo da camada arável, entre 10 e 30 cm. Utiliza hastes cuja altura varia de 70 a 80 cm, e o espaçamento máximo entre as mesmas deve ser de 20 a 25 cm, para se obter um bom contole das ervas invasoras e distúrbio do solo. Este método de preparo visa

proteger o solo da erosão pela não incorporação total da resteva da cultura anterior e romper camadas compactadas a profundidades de 10 a 20 cm.

JUSTINO & MAGALHAES (1990) desenvolveram uma maquina para o preparo minimo do solo, buscando, com isso, torna-lo possivel numa única operação. Tal maquina possui alem das hastes escarificadoras, um rolo destorroador na parte traseira e um rolo de corte a frente das hastes para evitar embuchamentos em areas com grande presença residuos culturais.

3.3 - Comparações entre tipos de preparo solo

Os implementos de hastes, de diferentes modelos, podem deixar remanescentes sobre o solo niveis de cobertura semelhantes. Aumentos da rugosidade superficial do solo bastante diferenciados para a operação com subsolador 125%, escarificador com 115% e escarificador com complementos 25% (FONTANA et al., 1986).

DERPSCH et al. (1982) em trabalhos de avaliação de implementos, verificaram que foram os escarificadores que deixaram o solo mais protegido com residuos de culturas. Na avaliação da porcentagem de residuos presentes na superficie do solo, após o preparo, deixaram 77%, contra 31 e 37% para operações com grade pesada e arado de disco respectivamente.

MIRANDA (1986) concluiu que o uso do escarificador com complementos apresentou uma rugosidade superficial do solo semelhante áquelas obtidas no preparo com grades e solo sem preparo. O autor recomenda que se realizem pesquisas sobre elementos rompedores, elementos destorroadores e discos cortadores para uso em equipamentos de preparo reduzido do solo.

DERPSCH et al. (1982) verificaram que após o preparo do solo e antes da gradagem, o indice de rugusidade foi superior no caso da escarificação em relação ao preparo com arado de disco e grade, num experimento que avaliou os rendimentos de soja e trigo durante 4 anos. Os rendimentos das culturas no tratamento com escarificador foi semelhante e em alguns anos superior ao preparo do solo com arado de disco e grade.

SIDIRAS & VIEIRA (1983) estudando dados de infiltração de água no solo medida na superficie, em quatro épocas diferentes, num experimento com duração de 5 anos, em solo classificado como Latosssolo Roxo, observaram que:

- nas faixas sob-rodas, nas duas èpocas finais em três tipos de preparo do solo, a infiltração foi bastante reduzida. No preparo convencional do solo os valores foram mais baixos que no plantio direto e escarificação.

DERPSCH et al. (1984) em estudos conduzidos em Latossolo Roxo, com o objetivo de avaliar diferentes implementos de preparo do solo no que se refere a rendimento, gasto de combustivel e efeitos sobre o solo, após sete anos de preparo do solo com escarificação, plantio direto e preparo convencional concluiram que:

- o preparo minimo (plantio direto e escarificação)
 resultou na média dos anos, em rendimentos superiores do que
 o preparo convencional;
- o consumo de combustivel por hectare foi significativamente menor no caso do escarificador do que no preparo do solo com arado;
- no tratamento com escarificação a superficie do solo apresentou maior rugosidade superficial, ficando também maior proporção de residuos vegetais na superficie do que no preparo convencional;
- o escarificador conseguiu quebrar com maior facilidade as camadas adensadas detectadas no solo, sem provocar pê da arado;
- o controle de plantas invasoras pelo escarificador foi inferior ao verificado para o preparo convencional e grade pesada.

ALMEIDA (1991) relata que o tipo de preparo do solo influencia na composição do complexo floristico. A inferência em função do trabalho realizado no terreno submentido ao preparo convencional (uma aração e duas

gradagens), preparo reduzido (uma escarificação e duas gradagens) e preparo nulo (vegetação morta com herbicidas de contato). Observou ainda que, sessenta e três dias depois das operações de preparo, a densidade de infestação de plantas invasoras no preparo reduzido foi de 213%, era muito semelhante ao preparo convencional com 187%, superiores a encontrada no preparo nulo.

SORRENSON & MONTOYA (1990) analizaram os custos de um experimento em Londrina no periodo de 1977 a 1984. O objetivo do experimento era testar 4 sistemas de rotação de soja, sob preparo convencional, preparo minimo e plantio direto. Os autores verificaram que os custos anuais foram maiores para o plantio direto em relação ao preparo convencional e preparo minimo (com uso de escarificador), 4 e 10% respectivamente. Constataram, no entanto, que o retorno econômico foi mais alto para a àrea sob plantio direto e preparo minimo, superiores em 488 e 254% em relação preparo do solo convencional.

DALLMEYER et al. (1989) num experimento com 12 diferentes tipos de preparo do solo incluindo arado, grades, enxada rotativa, escarificador e subsolador, para avaliar a rugosidade da superficie do solo arado, efetuaram amostragens com 200 pontos por parcela em 1m². Observaram que os maiores Indices de Rugosidade ocorreram nos

tratamentos com grade pesada e escarificador, seguidos de arado de disco.

BOLLER (1990) observou em trabalho num Latossolo vermelho escuro, preparado exclusivamente com escarificador, que o efeito dos mecanismos abridores de sulcos para fertilizantes e sementes e as rodas compactadoras da semeadora, foi semelhante ao verificado após a passagem de um arado de disco ou escarificador mais duas gradagens".

3.4 - Avaliações da operação de preparo do solo

BENEZ (1983) sugere que em pesquisas que envolvam operação de cultivo minimo sejam adotados algumas avaliações consideradas importantes. Considera como relevante o registro de plantas invasoras antes e após o preparo do solo.

GUPTA & LARSON (1982) citados por Gamero (1989) propuseram um mètodo para avaliar os efeitos do preparo do solo, a partir da determinação do seu diâmetro mèdio geomètrico. GAMERO (1989) adaptou e sugere esta metodologia que avalia quantitativamente o efeito dos implementos de preparo de solo. O mètodo adaptado consiste em se coletar o solo preparado numa caixa de papelão de 300 mm de lado por 200 mm de altura. A caixa è seca em estufa e o solo

peneirado. Com o uso de uma equação matemática proposta por GUPTA & LARSON, determina-se o diâmetro mêdio geométrico. O autor verificou que os resultados mostraram-se sensiveis aos diferentes tipos de preparo do solo.

A cobertura do solo por residuos da cultura anterior desempenha um papel fundamental na conservação do solo e da àgua. Entre três métodos testados por LAFLEN et al. (1981), o método da linha graduada disposta transversalmente foi o que mostrou representar de forma mais fiel a cobertura existente sobre o solo. Os outros dois métodos usados na sua comparação foram o da rêgua e o fotográfico.

3.5 - Operação de arados escarificadores e cinzêl

SILVA & MUTTI (1983) conduziram experimento num Latossolo Roxo, textura argilosa, com um arado de cinzel de 5 hastes distanciadas de 45 cm, a velocidades de 3,4; 4,7 e 6,4 km/h e profundidades de 16 cm e 21 cm. Constataram redução no coeficiente de força de tração para profundidade de trabalho maior, causado pelo aumento desproporcional da àrea mobilizada em relação ao acrescimo de força. Ao considerar o coeficiente de resistência à tração os autores concluem que a velocidade mais aconselhável è de 4,7 km/h. Registraram também, que o arado de cinzel mobilizou 64% da

area do perfil trabalhado ao que recomendam a redução da distância entre as hastes para aumentar a eficiência na mobilização do solo.

GAMERO (1989) trabalhou com diversos implementos de preparo do solo com a finalidade de qualificar o efeito destes sobre a desagregação do solo. As velocidades de trabalho utilizadas foram: para o escarificador com rolo destorroador e escarificador sem o rolo, 3,65 km/h e 4,62 km/h respectivamente. O autor verificou diâmetro mêdio geomêtrico semelhante para ambos.

Ao trabalhaar com 4 tipos de hastes; jumbo, cruzador, pè-de-pato e um protôtipo tipo "paraplow", KLEIN (1990), não encontrou diferenças quanto ao perfil do solo mobilizado e coeficiente de resistência a tração. No mesmo trabalho não foram registradas diferenças significativas para o diâmetro mêdio geométrico e porcentagem de cobertura do solo. Em virtude da semelhança observada entre os quatro tipos de hastes, o autor conclui pela viabilidade do protôtipo.

HOOGMOED (1982) avaliou um conjunto de implementos de preparo do solo, dentre eles varios escarificadores, e observou que os escarificadores com menor angulo de ataque mostraram mais facilidade de penetração. O autor testou escarificadores com e sem disco de corte a frente das hastes

num àrea infestada com capim marmelada ou papuă (Braquiaria plantaginea). Verificou que os escarificadores sem disco de corte embuchavam facilmente, ao contrârio dos com disco de corte onde o embuchamento não ocorria. O capim era cortado em pedaços e o implemento passava livremente. O teste foi repetido quando o capim marmelada se apresentava bem desenvolvido, com grande quantidade de biomassa, sendo que neste caso alguns embuchamentos foram registrados também nos escarificadores com disco de corte.

3.6 - Desempenho dos implementos de hastes em função da geometria

Em ensaios conduzidos em campo e laboratório, com implementos de ângulo de ataque das hastes que variaram de 20º a 160º e relação profundidade largura de 1.5:1 a 6:1 PAYNE & TANNER (1959) verificaram que:

- a eficiência no distúrbio do solo variou em termos com as proporções da ferramenta, mas foi extremamente sensivel ás alterações no ângulo de ataque sendo registrado um aumento oito vezes maior a 1600 em relação a 200;
- foi observado também que a força de tração quando os ângulos de ataque estavam na faixa de 20º a 50º sofreu pouca variação, mas após , foi registrado um crescimento muito ràpido sendo que na inclinação de 160º o esforço de tração foi 5 vezes maior que a 20º.

SOEHNE citado por GILL, VANDER BERG (1968) encontrou uma curva da relação ângulo de ataque versus força de tração onde observa que a mesma descreve uma trajetória tendo como ponto minimo de tração um ângulo de ataque próximo de 15º a 20º.

GOODWIN & SPOOR (1977) na busca de um modelo para estimar a profundidade critica observaram:

- que ao trabalhar com implementos com ângulos de ataque de 45°, 67.5° e 90°, num solo não compactado a força horizontal de tração foi menor para o ângulo de 45° em relação ao de 67.5° e este menor em relação a 90°, para ferramentas com 12.7, 25.4 e 50.8 mm de largura. Também pela ordem ocorreu uma maior distância de ruptura do solo para o ângulo de 45° seguido do de 67.5° contra o ângulo de 90°;
- em experimentos em caixa de solo verificaram uma cunha de solo compactada a frente de cada ferramenta para todos as larguras e ângulos de ataque;
- um decrescimo no ângulo de ataque causou um incremento na profundidade critica para uma relação fixa de profundidade e largura;
- a profundidade critica è muito sensivel à mudanças na densidade do solo e ângulo de atrito interno.

SPOOR & GODWIN (1978) trabalhando com subsoladores comuns em dois tipos de solos, numa condição friàvel, registram uma profundidade critica que varia entre 5 a 7

vezes a largura da ferramenta do implemento. Para um completo disturbio do solo, sem a adição de asas, o espaço entre as hastes deve encontrar-se na faixa de 1 a 1.5 vezes a profundidade de trabalho.

Em trabalho conduzido pelos mesmos autores, em solo argiloso com uma mesma haste, duas profundidades 30 e 50 cm e mesmo ângulo de ataque da ponteira e largura da ferramenta de 22º e 7.5 cm respectivamente, observaram que o distúrbio do solo foi idêntico para a profundidade de 30 cm. Quando o trabalho foi a profundidade além da profundidade critica, o modelo de ruptura próximo a superficie dependeu sobretudo da largura e ângulo de ataque da haste antes que da ferramenta.

Ainda segundo os mesmos autores, quando o ângulo de ataque da ferramenta usado foi de 25º, o solo è movido no sentido ascendente e com ângulo de 70º houve um aumento considerável da compactação.

Para Beltrame (1983)a melhor eficiência apresentada pelo subsolador Jumbo provavelmente decorra do ângulo de inclinação da relha 21º e da relação largura profundidade de trabalho (7,8 x 37), comparado aos subsoladores Krause e Max-503, com ângulo de 26º e 45º e relação largura profundidade (13 x 23) e (5 x 17) respectivamente.

SILVA et al. (1984) estudaram a relação entre o esforço de tração e a profundidade de trabalho de subsoladores e registraram uma alta correlação entre os dois fatores. Também registraram um menor esforço de tração para a haste do tipo parabólica.

SOUZA (1989) estudou a distribuição de forças em um subsolador quando alguns parâmetros geomètricos São variados. Realizou, também, uma avaliação da influência destes sobre o desempenho do subsolador. Conclui que a adição de asas na ponta do subsolador aumentou solo mobilizado significativamente a area do consequentemente a força resultante; porèm não percebeu de forma constante redução na resistência especifica. Segundo o mesmo autor não foi observada nenhuma correlação entre a altura de levante da asa e a àrea transversal de elevação superficial do solo e consequentemente com relação ao rearanjo entre torrões do solo também. O ângulo de 25º de ataque da asa foi mais apropriado para a condição estudada.

Num trabalho realizado em solo classificado como Terra Roxa Estruturada (LANÇAS & BENEZ, 1989) verificaram que as hastes parabólicas mobilizam mais o solo, enquanto a haste reta inclinada a 45º apresentou menor dispêndio de energia.

4. ASPECTOS TEORICOS DA PROPOSTA DE TRABALHO

4.1 Critèrio de escolha e dimensionamento das hastes e ponteiras

Esta proposta de trabalho esta baseada no presuposto pelo qual diferentes ângulos de ataque para as ponteiras das hastes produzem diferentes tipos de mobilização do solo. Essas diferenças referem-se à àrea mobilizada, a resistência à tração e ao tamanho dos agregados. Tais fatores, por sua vez, podem repercutir na cobertura do solo existente sobre a superficie, e nas rugosidades da superficie e subsuperficial (leito do solo não mobilizado).

MCKYES (1985) propõe um metodo para determinação de esforços em hastes estreitas. O autor ompilou em um livro, trabalhos dele proprio e outros autores, entre os quais Payne & Tanner (1959), Reece (1965), Hettiaratchi et al. (1966), Hettiaratchi & Reece (1967) e (1974) e Godwin & Spoor (1977). O metodo baseia-se nos principios de Mohr e

Coulomb, e utiliza uma sequência de formulas derivadas da equação universal de movimento do solo proposta por Reece (1965) e baseada na teoria da mecânica dos solos de Terzagui (1943).

4.2 Fundamento teòrico

Para ferramentas estreitas o comportamento da dinâmica de ruptura do solo apresenta-se na forma tridimensional HEETIARATCHI et al.(1966), GOODWIN & SPOOR (1977) e MAKEYS et al. (1977). A ruptura causada por uma ferramenta estreita ocorre, então, nos sentidos ascendente e para as laterais. Quando isso não ocorre, a ferramenta apenas desloca uma estreita faixa, comprimindo o solo lateralmente na dimensão da sua largura e sem o movimento ascendente. Diz-se então, que está trabalhando abaixo da profundidade critica (PC).

A profundidade critica, desta forma, vem a ser a profundidade limite, para a qual o solo não se desagrega nas três direções. OWEN (1988), observou a presença da profundidade critica tanto em solos argilosos como arenosos. Nos solos arenosos a PC è mais profunda que a encontrada nos argilosos.

Outro aspecto relevante sobre a P.C., è que esta è função entre outros fatores, da condição de adensamento,

tipo e umidade do solo. Pode variar ainda com as dimensões da ferramenta, ou seja, se a largura de uma ferramenta è alterada para uma mesma condição de solo, a profundidade critica também se altera SPOOR & GOODWIN (1978).

O ângulo de ataque das ponteiras è apontado por vàrios autores como causa das variações observadas nos esforços de tração (PAYNE & TANNER, 1959 e GIL VANDEN BERG, 1968), alèm de influir no grau de mobilização do solo CHICHESTER et al. (1985).

4.3 Seleção e dimensionamento das hastes e ponteiras 4.3.1 Seleção

A partir de indicadores obtidos da revisão da literatura foram selecionados dois ângulos de ataque e as ponteiras dimensionadas para o solo onde o trabalho foi realizado.

Os indicadores utilizados foram obtidos, principalmente, de PAYNE & TANNER (1956) onde observaram em seu trabalho que ângulos de ataque entre 20 e 50º diferiram pouco quanto a força de tração e que a partir de 70º ocorreu um incremento muito grande, e GOODWIN & SPOOR (1977) que a distância de ruptura do solo a frente da ferramenta foi maior para os ângulos de 45 e 67,5 graus em relação ao ângulo de 90º.

Optou-se então pelos ângulos de 450 e 650 graus e hastes rigidas. Foi levado em conta o fato da (MPM), como foi proposta por JUSTINO & MAGALHAES (1990), já possuir hastes flexiveis e ângulo de 200 para as ponteiras.

REECE (1965) citado por MACKEYS (1985), identificou que o mètodo para se determinar a capacidade de carregamento de fundações rasas descrita por TERZAGHI, era similar ao processo da mecânica de movimentação do solo. Após reordenar os efeitos de carga e solo, REECE propôs a Equação Universal de Movimentação do Solo (1), que fornece a força necessária ao corte e mobilização do solo por um implemento em movimento.

onde: P = força de tração total do implemento

& = densidade global do solo

g = aceleração da gravidade

c = coesão do solo

d = profundidade de trabalho

q = pressão de sobrecarga vertical que atua sobre a superficie do solo

w = largura do implemento

N , Nc e Nq = são fatores dependentes da força de atrito do solo, geometria do implemento e forças

presentes na relação implemento/solo.

HETTIARATCHI & REECE (1967) formularam um procedimento de cálculo para determinação dos esforços em ponteiras estreitas. O procedimento considera a ruptura do solo nessas ferramentas como um modelo tridimensional, e a forma dessa ruptura lateral curva, Equação (2).

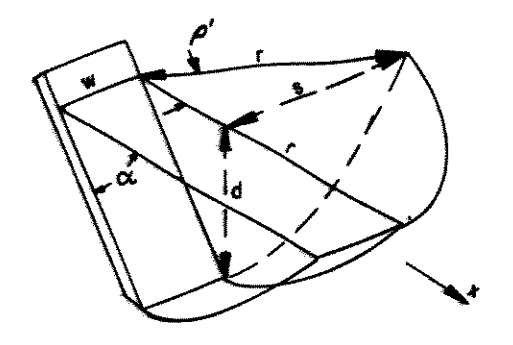
$$H = (8 \text{ gd}^2 \text{ N}8 + \text{cdNc} + \text{qdNq} + \text{cadNca}) \text{ wsin } (\infty + 6)$$
 eq.(2)
+ cadwcotx+ P2 sinx

4.3.2 Dimensionamento

GOODWIN & SPOOR (1977) constataram que a forma da ruptura lateral descrita anteriormente por Payne (1956) não era perfeitamente circular. Propuseram então uma forma eliptica como a mostrada na Figura 1. E, com isso, o câlculo da força total do implemento considerando a existência da àrea para os dois lados da ferramenta como mostra a Equação (3).

$$H = (\% \text{gd}^2 \text{N}\% + \text{cdNc} + \text{qdNq} + \text{cadNca}) (\text{w+s}) \sin (\infty + 6)$$

$$+ \text{cadwcot}\infty \qquad \text{eq. (3)}$$



R= raio da ruptura lateral S= distância máxima de ruptura lateral <= ânguio de ataque W= largura da ferramenta P= ânguio de ruptura lateral

FIGURA I - MODELO TRIDIMENSIONAL DE RUPTURA DE SOLO PROPOSTO POR GOODWIN & SPOOR (1.977).

Para se determinar a força exigida como mostra a Equação (3) faz-se necessário o cálculo da distância de Essa medida ruptura lateral Equação (4). e também imprescindivel na escolha do espaçamento entre as hastes do implemento. GOODWIN et al. (1984) observam que Payne & Tanner (1959), trabalhos realizados verificaram a \mathbf{em} magnitude da distância de ruptura lateral do implemento estar aproximadamente na mesma proporção da profundidade de trabalho do implemento.

GOODWIN et al. (1984) trabalharam em caixa de solo com diferentes profundidades de trabalho para as hastes dianteiras e verificaram que è possivel obter uma interação entre as hastes e obter redução da força de tração e perfil mobilizado semelhante. As àreas obtidas pelo modelo teórico estão na Tabela 1 e os perfis no Anexo 25.

a) distância de ruptura para as hastes rigidas "S"

Equação (4).

$$S = r [1 - (d \cot \alpha / r)^2]^{\frac{1}{2}}$$
 eq.(4)

TABELA 1. - Perfil mobilizado teórico obtido pelo método de Goodwin & Spoor (1977).

Tratamento	Area				
	(cm²)				
MR1	5.756				
MR2	4.813				
MR3	5.169				
MR4	4.332				

b) Força de tração necessária para a haste de 45° e profundidade de trabalho de 27 cm obtida pela Equação (3) foi de 7 KN para uma haste. O total de 35 KN de força de tração para 5 hastes, ou seja, para se tracionar um implemento de 5 hastes com estas características e o solo em condições semelhantes.

A determinação da força de tração serve como uma referência para o técnico responsável pela seleção do trator e/ou implementos a serem utilizados em algumas condições de solos agricolas, ou seja, os solos que foram contemplados nos trabalhos citados.

5. MATERIAL E METODOS

5.1 SOLO

O ensaio foi conduzido na area de experimentação do Centro de Pesquisas Químicas, Biológicas e Agricolas (CPQBA) da Universidade Estadual de Campinas - UNICAMP, localizado na quadra QE-1 em um Latossolo Vermelho Escuro com declividade de 1,5 %.

O històrico da àrea a partir de 1983, com as principais atividades de mecanização ali desenvolvidas são mostradas na Tabela 2. Nos anos de 1985/86 e 1987 não foi realizada nenhuma atividade agricola na àrea.

As anàlises fisicas e mecânicas mostradas nas Tabelas 3 e 4, foram realizadas pelo Laboratório de Solos e Laboratório de Mecânica de Solos da Faculdade de Engenharia Agricola da UNICAMP e pelo Laboratório de Mecânica dos Solos do Departamento de Engenharia de Transportes da Faculdade de Engenharia Civil da UNICAMP.

TABELA 2. Atividades desenvolvidas na area experimental a partir de 1983.

Ano		Atividade	Cultura
1983	Uma aração e	duas gradagens	milho
1984	Aplicação de	calcàreo magnesiano 3ton/ha	
1988*	Uma aração e	três gradagens	milho
1989*	Uma aração e	três gradagens	milho
1990*	Uma aração e	três gradagens	milho

^{*} A terceira gradagem foi para incorporar inseticida ensaio de controle de pragas do solo.

5.2 - Maquina e implementos usados no preparo do solo.

No preparo do solo convencional foi utilizado um arado de disco reversivel com três discos de 28" de diâmetro regulado para 20 cm de profundidade de trabalho. Uma grade leve, tipo tandem de levante hidraulico, com dez discos recortados à frente e dez discos lisos na seção traseira da grade. Discos com 18" de diâmetro.

Para o preparo minimo do solo utilizou-se a màquina de preparo minimo de solo construida por JUSTINO &

MAGALHAES (1990). Essa máquina compõe-se de três segmentos principais, sendo: um rolo de corte frontal; um rolo destorroador na parte traseira, ambos com 40 cm de diâmetro, e um chassi com as funções de porta hastes escarificadoras e união entre os rolos, de corte e destorroador. A regulagem do espaçamento entre hastes foi de 37 cm, obtidada atravês do modelo de Goodwin & Spoor (1977). Figura 2.

TABELA 3. Densidade global do solo.

Mėdia
(g/cm3)
1,27
1,40

5.3 - Area do perfil mobilizado

Utilizou-se um perfilômetro de aluminio com 40 hastes espassadas de 3,5 cm, construido por SOUZA (1989), com uma adaptação no suporte constituida de uma viga de 3m de comprimento, placas de apoio e alças nas extremidades. Com 3 cachimbos deslizantes, o perfilômetro abrange três metros de largura. Adicionou-se também um painel de cartolina, graduado e impermeabilizado, atrás das hastes indicadoras

afim de facilitar a leitura e permitir o uso de maquina fotogràfica e filmadora.

TABELA 4. Propriedades fisicas e mecânicas do solo e teor de umidade durante o preparo do solo.

Parâmetro		Mėdia	
Granulometria (USDA)		44	
- Areia grossa	%	6,7	
- Areia fina	*	26,5	
- Silte	%	7,2	
- Argila	*	59,6	
Teor de umidade à profundidade			
de trabalho dos implementos*	*	19,20	
Resistência à penetração*	kgf/cm ²	29,7	
Coesão do solo*	kpa	0,3	
Angulo de atrito interno*	graus	20	

^{*} O valor mostrado corresponde às mèdias obtidas.

No registro das cotas do perfil mobilizado foi utilizada uma filmadora Sharp Cancorder Modelo VL - 170 B, em operação apoiada num tripê, e para a leitura das fitas VHS, um video cassete Sharp Modelo VC - 726 B.

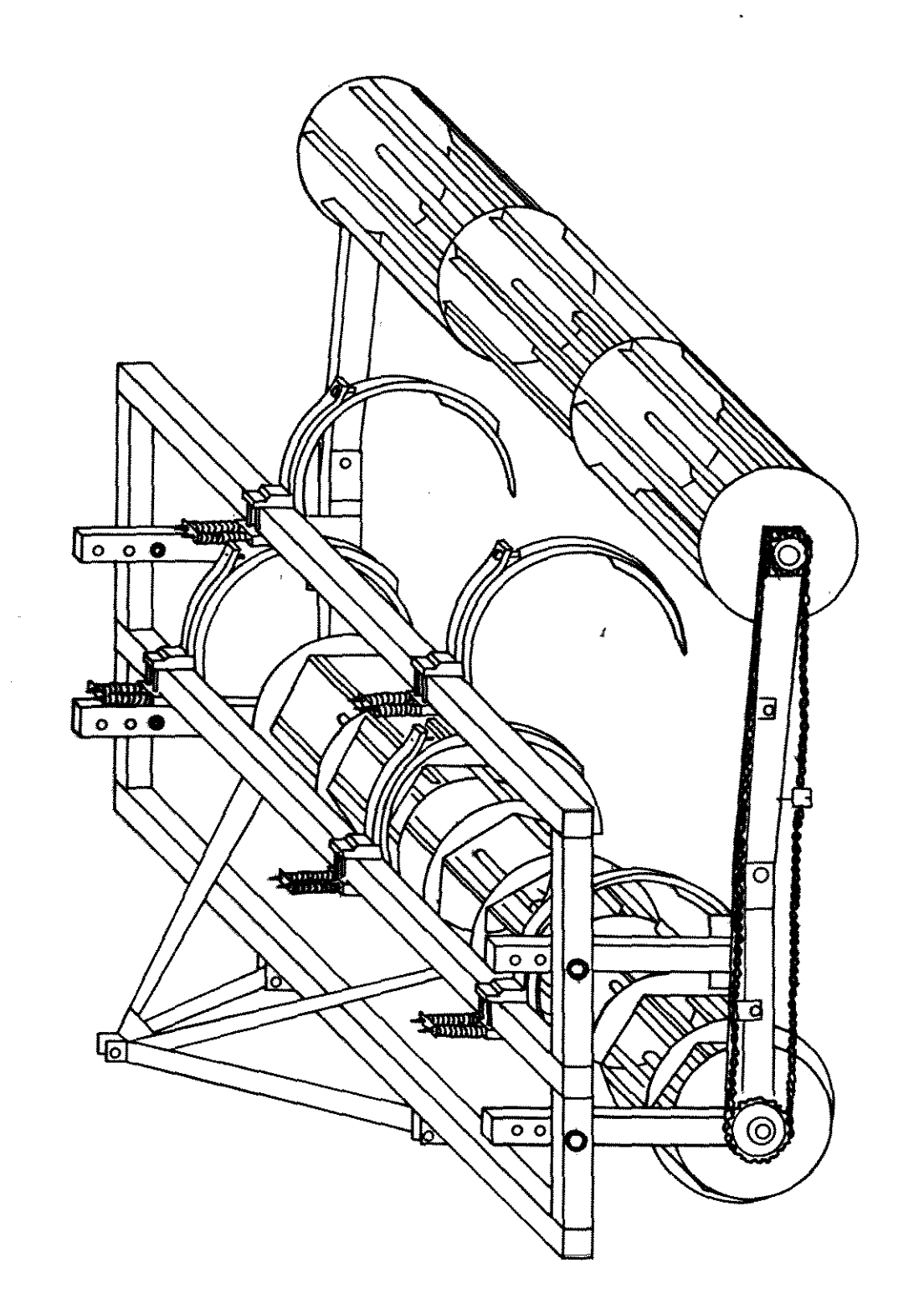


FIGURA 2. Maquina de preparo minimo de solo utilizada no ex-

perimento.

O călculo do perfil do solo mobilizado foi obtido pela diferença das cotas observadas antes do preparo do solo e as cotas registradas após o ensaio no perfil da subsuperficie. O perfil da subsuperficie foi registrado após a retirada com as mãos do solo disturbado. A área calculada é o produto da cota média "h" pela largura efetiva de trabalho do implemento "L".

$$A = h \cdot L \quad (cm^2)$$

$$h = [(I1-f1)+(I2-f2)+...(In-fn)] / N$$

onde:

A = area do perfil mobilizado (cm2)

h = altura mèdia das hastes (cm)

L = largura de trabalho do implemento (cm)

I = altura da haste do perfilômetro no perfil
 mobilizado (cm)

f = altura da haste do perfilômetro no perfil não
 mobilizado (cm)

N = número de hastes

5.4 - Delineamento estatistico e analise dos dados

O delineamento estatistico usado foi o de blocos casualizados, com 7 tratamentos e 4 repetições totalizando 28 parcelas. O esquema de campo è mostrado na Figura 3.

Cada parcela apresenta 3m de largura e 30 m de comprimento o que propociona uma área de 90 m². Dez metros entre as parcelas foram destinados para manobras e seis metros nas cabeceiras do ensaio para manobras do trator ou seja, espaço para o conjunto trator/implemento entrar em regime de operação.

Os parâmetros avaliados foram submetidos à anàlise de variância e ao teste de Tukey para comparação das mêdias ao nivel de 5% de probalidade.

5.5 - Tratamentos

Foram selecionadas 3 tipos de hastes: uma haste flexivel/curva e ângulo de ataque de 20°, utilizada por JUSTINO & MAGALHAES (1990); duas hastes rigidas com ângulos de ataque de 45° e 65°, com ponteiras de 70 mm de largura dimensionadas segundo MCKYES (1985) selecionadas e

calculadas conforme descrito no capitulo 3, e mostradas nas Figuras 4 e 5. Na Figura 6 è mostrado o desenho esquemàtico de uma haste flexivel, onde aparece as dimensões e a curvatura. O material utilizado na sua construção foi aço 1070.

Nos tratamentos com a maquina de preparo minimo do solo (MPM), para os três tipos de hastes, o bloco posterior sempre trabalhou a profundidade de 27 cm. No bloco dianteiro as profundidades de trabalho foram de 27 e 17 cm, conforme mostra a Tabela 5. Nos tratamentos com hastes flexiveis foram utiliasdas 3 na frente e duas atras e nos tratamentos com hastes rigidas foram utilizadas 2 hastes frontais e 3 traseiras. O espaçamento entre as hastes foi o mesmo para todos os tratamentos ou seja 37 cm.

5.6 - Cobertura do solo

Para a avaliação da cobertura de solo utilizou-se o método adaptado de LAFEN et al. (1981). O método adaptado, também usado por JUSTINO (1990), consiste no uso de um barbante de 20m de comprimento com marcas a cada 0.20m. O barbante foi esticado na diagonal de cada parcela, contandose o número de marcas coincidentes com a presença de matéria sêca e/ou verde sobre a superficie do terreno.

PSC	•	MF5		
MR2		MR3	BLOCO	1
MRI		MR4		•
_	•	MF6		
MR3		MF6		
MR4		MF5	BLOCO	11
PSC		M R2	BLOOD	• •
		MRI		
		•		
MRI		MR2		
MR3		PSC	BLOCO	111
MR4		MF5	BLUCU	
		MF6		
	h			
MR4		MR3		
MF5		PSC	DI 000	1 1/
MRI		MR2	BLOCO	ı V
MF6				
INI I. O				

FIGURA 3. Croqui da àrea experimental com sorteio dos tramentos

A porcentagem de cobertura de residuos sobre o solo foi obtida pela diferença entre as porcentagens registradas antes e após a operação de preparo.

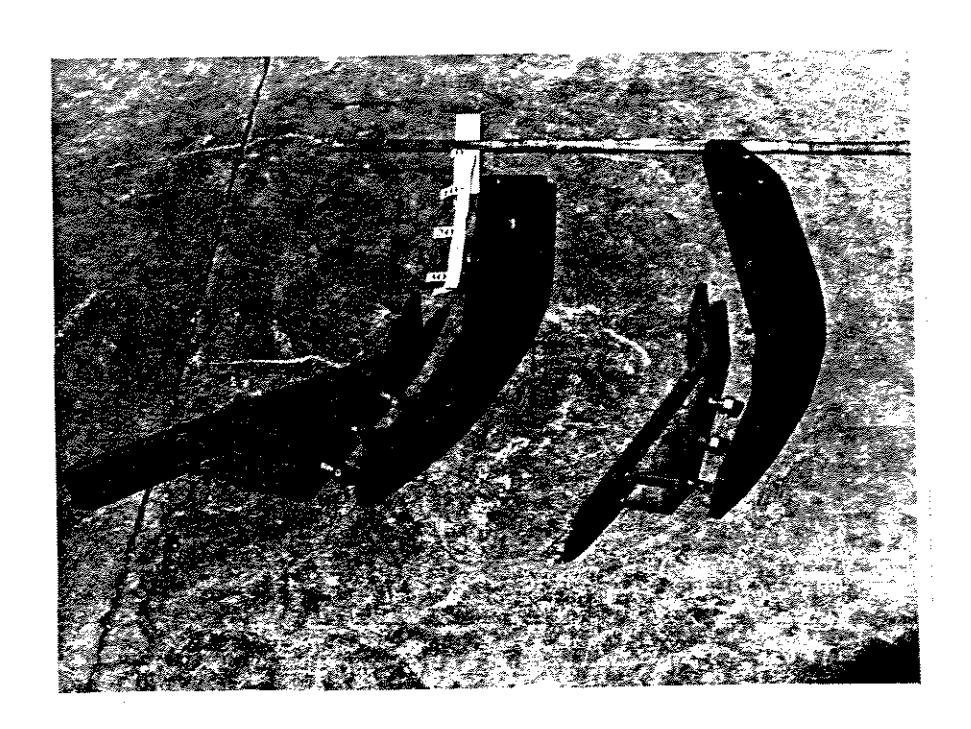


FIGURA 4. Hastes rigidas utilizadas para trabalho a mesma profundidade à esquerda (MR1 e MR3). A direita has tes dianteiras para trabalho 10 cm mais raso MR2 e MR4. A ponteira à esquerda com 45° (MR1 e MR2) e a direita 65° (MR3 e MR4).

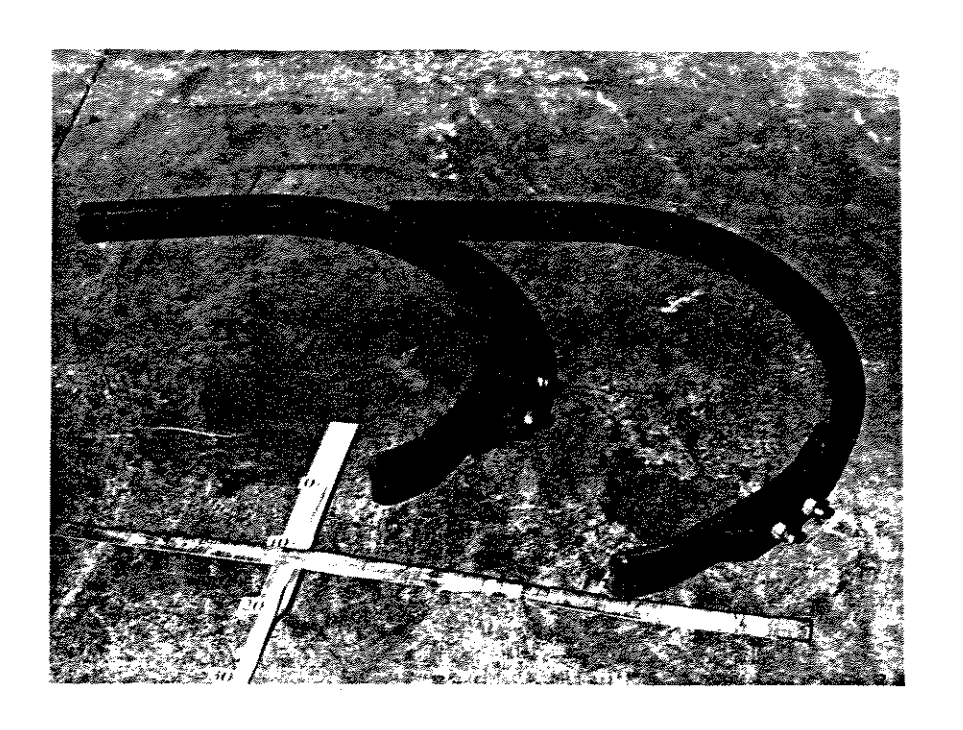


FIGURA 5. Hastes utilizadas nos tratamentos MF6 à direita, e à esquerda è mostrado um exemplar das hastes usadas no bloco frontal da MPM utilizada no tratamento MF5.

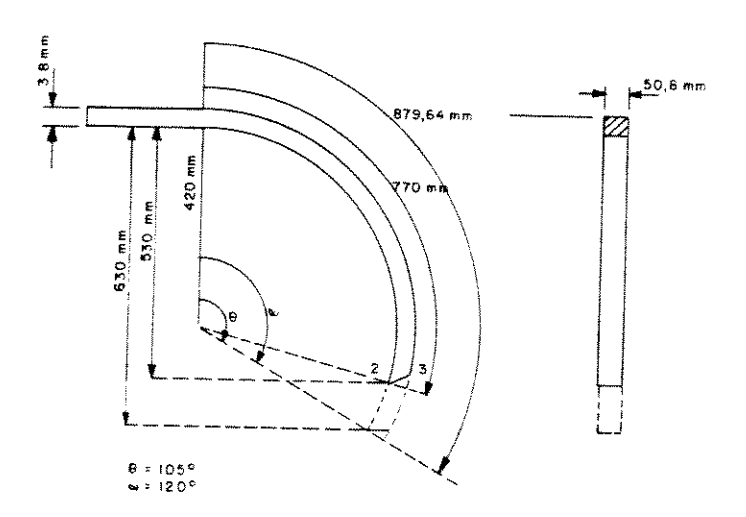


FIGURA 6. Desenho esquemàtico das hastes flexiveis.

TABELA 5. Tratamentos realizados no ensaio de campo.

Apply upder corns where desire spens Anna Make corns color after After Apple and a color apple and a color apple apple apple and a color apple a		here there are made and price and other finite and payed and are some time that it	
TRATAMENTOS	FORMA DA	PROFUNDIDADE	DE TRABALHO
	HASTE	DIANTEIRAS	TRASEIRAS
		(cm)	(cm)
1 - MR1	Rigida-450	27	27
2 - MR2	Rigida-450	17	27
3 - MR3	Rigida-650	27	27
4 - MR4	Rigida-650	17	27
5 - M F5	Flexivel-200	27	27
6 - MF6	Flexivel-200	17	27
7 - PSC	Preparo Conve	ncional do Solo	*

^{*} Preparo convencional do solo; uma aração e duas gradagens.

Também foi registrado a massa da cobertura vegetal formada pela resteva do milho e a cobertura verde que espontâneamente se desenvolveu na àrea. Essas amostras foram coletadas em número de duas por parcela; utilizando-se para tanto, uma armação quadrada de madeira de 0,5m de lado. As amostras coletadas foram acondicionadas em sacos de aniagem e sêcas ao sol por 15 dias e em estufa a 65º por 24 horas para a determinação da massa seca.

5.7 - Resistência à penetração do solo

A resitência à penetração do solo foi obtida com um penetrògrafo da marca da Soil Control, modelo SC 60, constituido de uma haste de 0,60 m de comprimento, ponta em forma de cone com ângulo de 30° e 0,20 pol² de àrea da base.

Procurou-se durante o teste manter a velocidade de penetração no solo constante.

5.8 - Velocidade de deslocamento durante o ensaio

A velocidade de deslocamento durante o ensaio foi calculada a partir da medida de comprimento da parcela e do registro do tempo necessário para o percurso.

O tempo referente a cada parcela foi registrado num cronômetro eletrônico da marca Cásio modelo HS 20. Para a medida do espaço percorrido utilizou-se uma trena de 50 metros.

5.9 - Operação de preparo do solo

As operações de preparo do solo foram realizadas em 01/11/90. Foi utilizado um trator da marca Massey

Ferguson, modelo MF 296, com lastros nos pneus traseiros para tracionar os equipamentos. O trator trabalhou em 2.000 rpm no motor em 4a marcha reduzida, para todos os tratamentos com a maquina de preparo minimo do solo. No tratamento em que foi utilizado o arado de disco, o trator operou em 3a marcha reduzida à 1.600 rpm no motor e na operação de gradagem a 2.300 rpm no motor e em 1a marcha simples.

O rolo destorroador operou com a relação de transmissão de 1:1,94, considerado por JUSTINO & MAGALHÃES (1990) a mais adequada.

5.10 - Presenca de plantas invasoras

A contagem de ervas invasoras foi efetuada com o emprego de uma armação de madeira com 0,5 m de lado. Foram realizadas três amostragens, escolhidas ao acaso no inicio, meio e fim de cada parcela.

Foi registrada a presença de plantas invasoras antes e após o preparo do solo. Após o preparo do solo, a contagem de invasoras deu-se nos sexto e décimo segundo dias, como recomenda Hoogmoed (1982).

5.11 - Porcentagem de agregados por classe de tamanho e diâmetro mèdio geomètrico.

Para a obtenção da porcentagem de agregados por classe de tamanho e diâmetro geomètico utilizou-se a metodologia adaptada e proposta por Gamero (1989). Após o preparo do solo, cravou-se uma estrutra metàlica quadrada de 200 mm de altura e 300 mm de lado, até que atingisse a profundidade de trabalho. Depois da remoção do solo das laterais externas da estrutura, introduziu-se uma lâmina na parte inferior removendo-a para o interior de uma caixa de papelão, com lateral basculante.

As amostras coletadas foram abertas e secas em estufa a 105° C, durante 24 horas. As amostras foram peneiradas num jogo de dez peneiras para a obtenção dos agregados por classe de tamanho e depois pesadas. Com os pesos retidos por classe de tamanho foram determinadas: a porcentagem retida em cada classe (Wi%), e o Diâmetro Mèdio Geomètrico (DMG), pelas equações que seguem.

$$\mathbf{Wi. 100}$$

$$\mathbf{Wi} = \frac{\sum_{i=1}^{N} \mathbf{Wi}}{\sum_{i=1}^{N} \mathbf{Wi}}$$

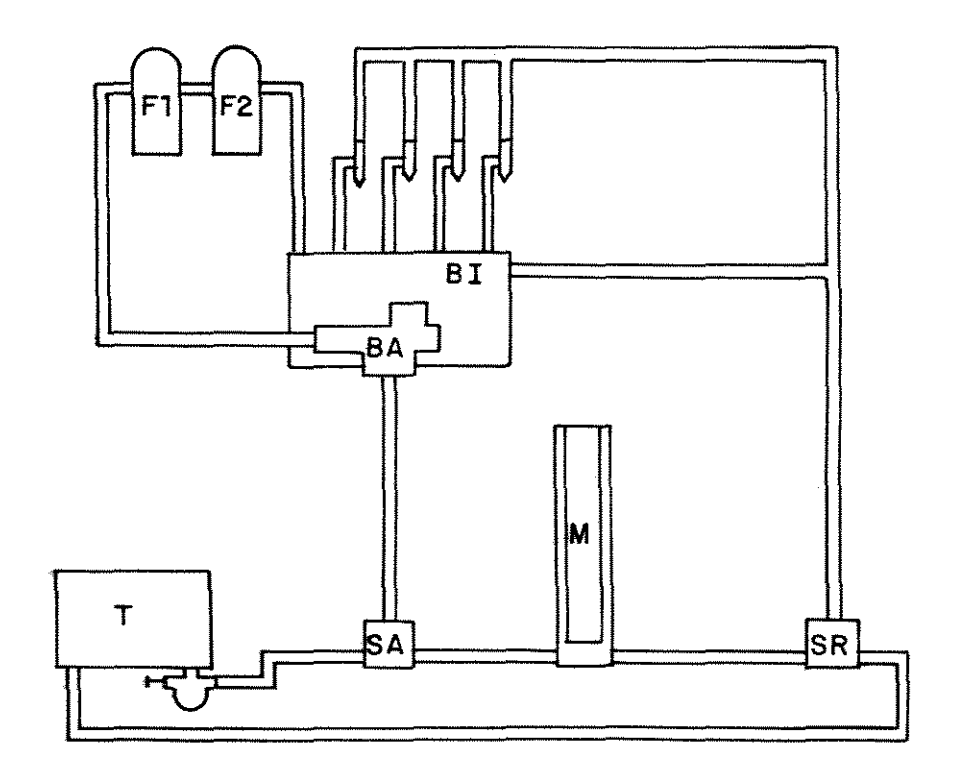
b) DMG (mm) = antilog ($\sum_{i=1}^{N}$ Wi log di / $\sum_{i=1}^{N}$ Wi) wi = pëso retido em cada classe de tamanho di = diâmetro mèdio da classe n = nùmero de classes

5.12 - Consumo de Combustivel

Para a determinação do consumo de combustivel utilizou-se o aparelho construido por GAMERO et al (1986), o qual esta mostrado na Figura 7. O aparelho è constituido de uma estrutura de madeira contendo uma proveta graduada de acrilico, cujo diâmetro interno è 5,08 cm e 50 cm de comprimento com divisões de 1 mm que correspondem a 2,082 cm³ de òleo diesel. O controle do fluxo de combustivel è feito por duas válvulas solenòides de 3 vias, conectadas à bateria do trator. O abastecimento do trator è feito energizando-se somente a válvula solenòide do retorno e para se medir o consumo de combustivel deve-se acionar as duas válvula simultâneamente.

Neste ensaio devido a um engano durante o trabalho a valvula de retorno não foi acionada fazendo com que junto ao consumo de combustivel dispendido pelo trator fosse adicionado o volume correspondente ao retorno. Considerando, no entanto, que o consumo de combustivel è um dado bastante específico de uma condição de solo e de um trator em

particular optou-se, então, pela inclusão dos dados no trabalho com essa ressalva.



M = Medidor de combustível
SA = Solenóide de alimentação
SR = Solenóide de retorno

T = Depósito de combustível do trator

BA = Bomba alimentadora BI = Bomba injetora

F1.F2 = Filtros de combustível

FIGURA 7. Esquema geral simplificado do aparelho medidor de combustivel.

A unidade utilizada para a exposição dos dados de consumo de combustivel registrados no trabalho, litros por hectare (1/ha), foi adotada apenas por ser uma unidade usual neste tipo de parâmetro. Visto que os dados obtidos somente tem razão de ser se forem comparados entre si, o seu maior valor è diferença verificada entre os tratamentos. O mesmo critério foi seguido para a adoção da unidade de consumo de combustivel por unidade de àrea de solo mobilizada. Neste caso adotou-se mililitro por cm², ou seja (ml/cm²).

6 - RESULTADOS E DISCUSSÃO

6.1 - Cobertura de solo

O efeito dos implementos sobre a cobertura do solo não mostrou diferenças estatisticamente significativas entre os tratamentos com a máquina de preparo mínimo de solo (MPM). Cujos dados podem ser observados na Tabela 5.

Constatou-se, porèm, uma diferença significativa ao nivel de 5% de probabilidade, quando a comparação deu-se em relação ao tratamento com o preparo de solo convencional PSC e os tratamentos com a (MPM).

Os dados da avaliação expressam a ação dos implementos sobre a cobertura mantida, isto é, a diferença entre a cobertura verificada antes e a verificada após o preparo do solo.

Os dados registrados mostram uma significativa diferença entre os obtidos por JUSTINO & MAGALHAES (1990) visto que neste caso a presença de cobertura vegetal era bem menor. A diferença relaciona-se diretamente à quantidade de residuos verificada antes do preparo do solo.

TABELA 5. - Cobertura do solo com residuos vegetais nos tratamentos de preparo estudados.

TRATAMENTOS		COBERTURA		
		(%)		
1	MR1	77.89	a	
2	MR2	72.45	a	
3	MR3	75.84	a	
4	MR4	70.55	a	
5	MF5	79.60	a	
6	MF6	78.52	a	
7	PSC	15.42	1	

O único ponto de embuchamento registrado no ensaio foi no tratamento MR1 na parcela do bloco três onde havia uma significativa presença de biomassa (12,8 ton/ha). O embuchamento ocorreu entre a haste lateral direita e a estrutura do implemento. verificou-se ainda que o rolo de

corte colocado à frente das hastes escarificadoras funcionou muito bem nos tratamentos utilizados. Hoogmoed (1982) observou que distâncias reduzidas entre o chassi e as hastes do escarificador facilitam consideravelmente os embuchamentos.

6.2 - Area mėdia mobilizada nos tratamentos de preparo estudados

As areas mobilizadas no solo nos tratamentos MR1 e MR2 apresentaram diferenças estatisticamente significantes quando comparadas com as areas obtidas no tratamento MF6. Como pode se observa na Tabela 6.

O perfil mobilizado realizado pela maquina de preparo minimo nos tratamentos MF5 e MF6, que por serem de hastes flexiveis podem ter sido prejudicados pela alta densidade global do solo, com densidades medias registradas na area do ensaio de 1,27 g/cm³ para a profundidade de 0 - 15 cm e 1,40 g/cm³ para 15 - 30 cm de profundidade. Outro fator a ser ponderado è que as hastes flexiveis por característica intrinseca possuem frequências naturais baixas, o oposto das hastes rigidas com frequências naturais altas.

Observou-se uma diferença entre as àreas dos perfis obtidos através do modelo teórico proposto por Goodwin & Spoor (1977) em relação às àreas dos perfis registrados no experimento. Como pode ser observado no Capitulo 4, nas paginas 24, 25, 26 e no Anexo 25.

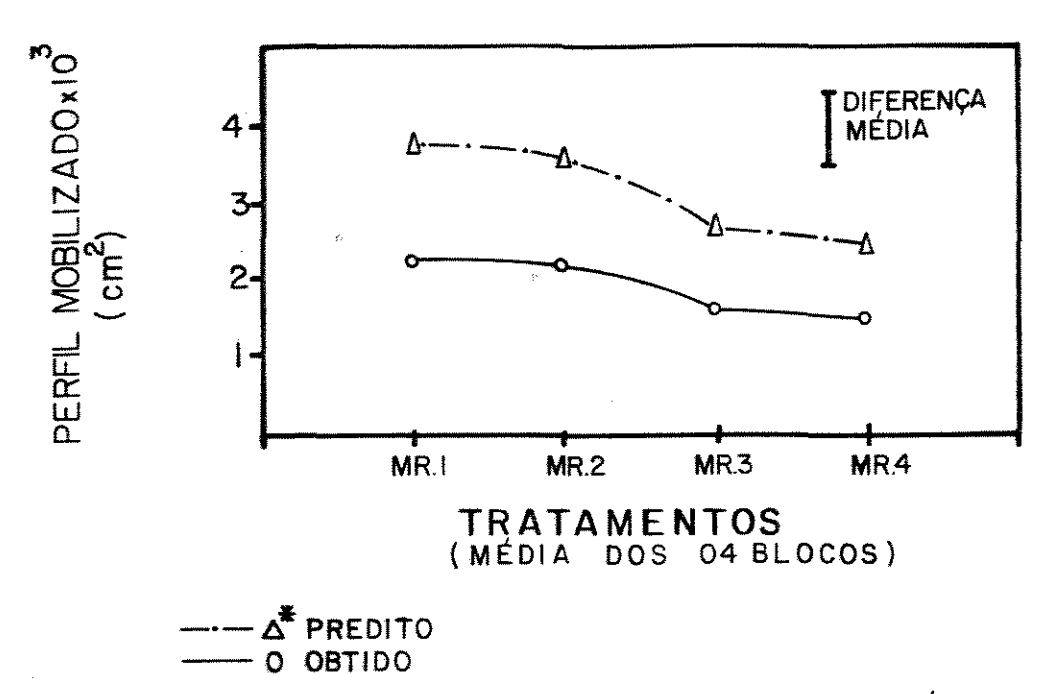
Mesmo considerando-se que a comparação em relação aos modelos teóricos deva servir apenas como um balizamento, várias causas podem ser apontadas para que isso ocorresse. Dentre elas, pode ser citada a alta presença de vegetação, que pelo seu volume e enrraizamento, propicia maior resistência ao solo, dificultando a ruptura do tipo tridimencional produto da ação das hastes estreitas. Notou-se também que as diferenças observadas estão muito próximas do que registraram GOODWIN et al. 1984, conforme mostra a Figura 8.

6.3 - Controle de plantas invasoras.

A presença de plantas invasoras expressa em plantas por m² è mostrado nas Tabelas 7 e 8. A Tabela 7 mostra a população de plantas por metro quadrado registrada 6 dias após o preparo do solo. Nesta tabela pode se verificar que os tratamentos MF6 e MF4 diferiram significativamente do tratamento PSC ao nivel de 5% de probabilidade. Os demais, embora superiores numericamente, foram iguais estatisticamente. Um fator que deve ser considerado è a precipitação pluviomètrica que ocorreu na àrea logo após o preparo do solo. A chuva propiciou o nascimento de ervas

1 6 6 7 8 25 21 1 1 25

correspondente mais a infestação natural do solo do que ao tipo de preparo do solo - tratamento - ao qual o solo foi submetido.



*OS PERFIS PREDITOS MOSTRADOS NO GRÁFICO FORAM AJUSTADOS EM FUNÇÃO DA, PROFUNDIDADE MEDIA MÁ-XIMA OBTIDA A CAMPO. MEDIA ESSA OBTIDA APARTIR DOS O6 MAIORES VALORES DE CADA TRATAMENTO.

FIGURA 8. Grafico comparativo dos perfis de mobilição do solo preditos pelo modelo de GOO-DWIN et al. (1977) e os perfis obtidos no ensaio de campo.

TABELA 6. - Area média mobilizada nos tratamentos de preparo estudados.

and record their state days come offer a					
TRAT	AMENTOS	AREA			
		(cm2)			
44,44			<u></u>		
1	MR1	2109,0	а		
2	MR2	1998,5	a		
3	MR3	1738,5	ab		
4	MR4	1733,0	ab		
5	MF5	1603,7	ab		
6	MF6	1189,0	b		
7	PSC	1904,5	ab		

A Tabela 8 mostra as médias das observações realizadas 12 dias após o preparo do solo. O registro da presença de ervas daninhas, passados 12 dias, não apresentou mais diferença estatistica significativa entre os tratamentos a 5% de probabilidade.

TABELA 7. - Presença de plantas invasoras por metro qua drado, com leitura seis dias após o preparo do solo.

TRA	TAMENTOS	NO DE PLANTAS
		(M ²)
1	MR1	17,65 a b
2	MR2	22,65 a b
3	MR3	25,66 a b
4	MR4	32,98 a
5	MF5	20,34 a b
6	MF6	32,98 a
7	PSC	3,32 b

A ausência de diferença entre os tratamentos mostra uma clara tendência de uniformização da presença de ervas com o decorrer do tempo, após o preparo do solo. Um fator que deve ser considerado è a precipitação pluviométrica que ocorreu na àrea logo após o preparo do solo. A chuva propiciou o nascimento de ervas correspondente mais à infestação natural do solo do que ao tipo de preparo ao qual o solo foi submetido. Comportamentos semelhantes para trabalhos com escarificadores em solo coberto com residuos registraram HOOGMOED (1982) e ALMEIDA (1991).

TABELA 8.- Presença de plantas invasoras 12 dias após o preparo do solo.

TRATAMENTOS		NO DE PLANTAS
		(M ²)
1	MR1	142,3 a
2	MR2	192,9 a
3	MR3	205,6 a
4	MR4	209,6 a
5	MF5	216,0 a
6	MF6	216,3 a
7	PSC	225,0 a

6.4 - Diâmetro Mèdio Geomètrico dos Agregados

Nos valores calculados para o DMG, observou-se difereça estatistica entre o tratamento (MR1) em relação ao tratamento com preparo convencional do solo (PSC) e o tratamento MR4, conforme Tabela 9. Os valores encontrados assemelham-se aos encontrados por GAMERO (1989) e KLEIN (1990).

Os tratamentos MR1, MR2, MR3, MF5 e MF6 nao diferiram estatisticamente para uma análise à 5% de probabilidade.

TABELA 9. - Diâmetro Mèdio Geomètrico (mm)

TRA	TAMENTOS	DMG	
		(mm)
1	MR1	25,54	
2	MR2	18,10	a
3	MR3	11,21	a
4	MR4	6,67	
5	MF5	12,96	a
6	MF6	12,67	a
7	PSC	5,90	

Também não foi registrada diferença estatistica entre os tratamentos MR2, MR3, MR4, MF5, MF6 e PSC. Na ausência de um referencial de reconhecida validade para as condições brasileiras, pode-se, no entanto, considerar a partir das informações de LARSON & SWAN citado por GAMERO (1989), que para a cultura do milho, em solos úmidos, aconselham um diâmetro mêdio geomètrico dos agregados de 6 mm

na zona de semeadura. Outro aspeto a discutir è a observação de BOLLER (1990), de que mesmo se após a operação do preparo, o tamanho dos agregados for muito grande, somente o efeito dos mecanismos abre sulco das semeadoras mais o da roda compactadora podem deixar os agregados com diâmetros mêdios semelhantes a um preparo mais agressivo.

6.5 Porcentagens de peso retido por classe de agregados

Na anàlise estatistica das porcentagens de peso retido por classe de agregados, as classes entre 1 e 6 não apresentaram diferenças estatisticas significativas. Para as classes 7 e 8, apenas o tratamento PSC diferiu do tratamento MR1.

Para a classe 9, o tratamento PSC foi superior aos tratamentos MR1 e MR2. O tratamento MR4 foi superior ao tratamento MR1. Os tratamentos MR1, MR2, MR3, MF5 e MF6 foram semelhantes entre si. Também foram os dois grupos de tratamentos; o primeiro composto pelo MR2, MR3, MF5 e MF6 e o segundo grupo composto por MR3, MR4, MF5, MF6 e PSC. Tabela 10.

TABELA 10. Porcentagem de peso por classe de agregados.

			CLASSE	DE TAM	ANHO (mr	n) DE	TORRÃO			
TRATAMENTOS	(10)	(9,0)	(8,0)	(7,0)	(6,0)	(5,0)	(4,0)	(3,0)	(2,0)	(1,0)
	0 -1,68	1,68 -3,36	3,36 -6,36	6,35 —12,70	12,70 -19,05	19,05 -25,40	0 25,40 - 50,80	50,80-76,20	76,20-101,60	101,6-127
MRÍ	ί7,47 α	5,82 c	3,65 c	3,30 ь	2,71 a	2,86 a	8,61 b	9,07 a	8,11 a	38,12 c
M R. 2	20,87 a	7, 93 cb	5,03 cb	4,24 ba	2,94 a	3,45 a	10,03 ba	10,24 a	12,83 a	22,40 d
MR.3	30,84 a	9,56 cda	6,56 cba	4,91 ba	3,22.a	3,49 a	7,86 ba	10,13 a	10,30 a	13,10 a
MR.4	39,09 a	12,89 ba	7,82 ba	5,22 ba	3,29 a	2,83 a	7,11 ba	4,79 œ	2,72 a	14,25 a
MF.5	25,18 a	8,7 cba	6,11 cbai	4,24 ba	3,26 a	5,07 a	8,97 ba	9,82 a	11,77 a	16,84 c
MF.6	31,11 a	10,25 cba`	6,31 cba	5,02 ba	3,10 a	3,65 a	8,03 ba	5,33 a	7,25 a	19,77 a
PSC.	3 4,77 a	14,21 a į	8,40 a	6,58 a	4,47 a	3,82 a	11,16 o	6,51 a	2,53 a	7,59 a

Os resultados obtidos assemelham-se aos de GAMERO (1989), quando se observa alguns tratamentos semelhantes. Como a metodologia è nova, e também porque deve se considerar a variabilidade presente neste tipo de avaliação, as inferências a partir dos resultados de um único experimento tem um sentido relativo. Observe-se que os dados de porcentagem por classe de agregados são parciais de onde se origina o DMG.

6.6 Consumo de combustivel

O consumo de combustivel registrado para o tratamento PSC foi significativamente maior em relação a todos os tratamentos onde se utilizou a MPM. Entre os tratamentos com a MPM no tratamento MR1 foi registrado um consumo de combustivel maior que os demais tratramentos que utilizaram a mesma maquina, diferindo inclusive do tratamento MR2, ja que este è idêntico, porêm com as hastes dianteiras 10 cm mais curtas. Não se verificou diferenças significativas entre os tratamentos MR2, MR3 e MR4, e estes superiores aos tratamentos MF5 e MF6 onde também não se verificou diferenças entre si, como se observa na Tabela 11.

Com excessão dos tratamentos MR1 e MR2 observou-se uma tendência de consumo semelhante entre os tratamentos onde se utilizou a MPM, com mesmo tipo de haste, ainda que com

profundidade de trabalho das hastes dianteiras mais superficial.

TABELA 11. - Consumo de combustivel em 1/ha.

TRA	TAMENTOS	CON	CONSUMO		
		(1/	ha)		
1	MR1	16,05	ъ		
2	MR2	12,55	c		
3	MR3	13,82	c		
4	MR4	11,97	c		
5	MF5	8,72			
6	MF6	8,20			
7	PSC*	23,40	а		

*PSC = DISCO + 1a GRAD. + 2a GRAD.

O consumo verificado para o tratamento PSC, bem maior que todos os tratamentos onde se utilizou a MPM, evidencia claramente a maior eficiênncia energética destes. Resultados semlhantes obtiveram DERPSCH et al. (1984) quando compararam o consumo de combustivel registrado para escarificadores em relação ao sistema de preparo convencional do solo.

6.7 Consumo de combustivel por àrea de solo mobilizada

Quanto ao consumo de combustivel por àrea de solo mobilizada o tratamento PSC foi que apresentou maior consumo, diferindo significativamente dos demais. Os tratamentos com haste rigida, embora não tenham diferido entre si, mostraram uma nitida tendência de crescimento de consumo de energia por àrea trabalhada, quando a profundidade de trabalho das hastes dianteiras foi igual as traseiras, como pode ser visto na Tabela 12.

TABELA 12. Consumo de combustivel por àrea de solo mobilizada em ml/cm².

TRA	ATAMENTOS	CONSUMO
		(m1/cm ²)
1	MR1	7,71 b
2	MR2	6,38 b
3	MR3	8,01 b
4	MR4	7,37 b
5	MF5	5,49 b
6	MF6	7,21 b
7	PSC*	12,30 a

^{*}PSC = DISCO + 1a GRAD. + 2a GRAD.

Este parametro mostra que em termos de consumo especifico, isto è, ml/cm², o preparo do solo convencional foi muito mais dispendioso que o preparo do solo realizado com a MPM, independentemente do tipo de haste utilizada.

HOOGMOED (1982) em trabalho realizado em Londrina, onde, utilizando escarificadores com hastes semelhantes às utilizadas na MPM e arado de disco, obteve, nos resultados de consumo de combustivel diferenças, entre os tratamentos utilizados, muito pròximas às verificadas entre a MPM e o PSC.

6.8 Biomassa presente na àrea antes do ensaio

No registro da massa da vegetal (biommassa), presente na årea do ensaio formada pela resteva de milho somada a vegetação que espontâneamente se desenvolveu na àrea, não se verificou diferenças estatisticamente significativas, como pode ser visto na Tabela 13.

A significativa produção de biomassa ocorreu devido a uma incomum instabilidade metereológica na região, verificada nos meses de julho a setembro. Este fato, alèm de não permitir a operação de preparo do solo, em razão da umidade excessiva do mesmo, ainda propiciou uma elevada produção de massa verde devido ao crescimento das plantas invasoras.

6.9 Velocidade de deslocamento durante o ensaio

Os valores mèdios de velocidade de deslocamento do conjunto trator/implemento registradas durante o ensaio estão mostradas na Tabela 14.

TABELA 13. Produção de biomassa em ton/ha na àrea do ensaio em 29.10.90.

TRA	TAMENTOS	PESO
		ton/ha
1	MR1	9,9 a
2	MR2	10,5 a
3	MR3	7,3 a
4	MR4	9,9 a
5	MF5	9,8 a
6	MF6	5,5 a
7	PSC	8,8 a

A explicação para as velocidades mais baixas registradas nos tratamentos MR1 a MR4, pode estar relacionada com a maior àrea mobilizada e, portanto, ter exigido maior esforço tratório, o que causou maior patinamento.

TABELA 14. Velocidade de deslocamento durante o trabalho.

TRA	TAMENT	OS	VELOCIDADE (km/h)
1	MR1		3,10
2	MR2		4,00
3	MR3		3,89
4	MR4		4,42
5	MF5		5,72
6	MF6		5,92
7	PSC	DISCO	3,77
		1ª GRAD.	6,77
		2ª GRAD.	7,09

7. CONCLUSORS

- A maquina de preparo minimo de solo, sem distinção de tipo de haste e profundidade de trabalho das hastes dianteiras, propiciou uma cobertura de solo superior ao sistema de preparo convencional de solo. A maquina de preparo minimo de solo, da mesma forma, isto è, independentemente do tipo de haste utilizada, dispendeu menos energia que o preparo minimo de solo
- O rolo de corte mostrou boa performance quanto ao corte da resteva, mesmo em condição rigorosa de trabalho.
- Para todos os tratamentos com a maquina de preparo minimo de solo não foi observada diferença entre o perfil de solo mobilizado.
- Apenas os tratamentos com haste rigida e ângulo de 650 e haste flexivel com profundidade de trabalho das hastes dianteiras de 17 cm, foram menos eficientes no controle de plantas invasoras que o sistema de preparo convencional.

- Entre os tratamentos que utilizaram a maquina de preparo minimo do solo, com exceção do tratamento com haste rigida, ângulo de 65º e profundidade de trabalho das hastes dianteiras de 17 cm, não houve influência estatistica no diâmetro médio geomètrico dos agregados.

8. RECOMENDAÇÕES

- O estudo comparativo, quanto à potência exigida, entre hastes flexiveis e rigidas, para diferentes ângulos de ataque e geometria das ponteiras.
- O pesquisa e desenvolvimento de maquinas semelhantes, com a finalidade de obter-se maquinas mais leves e menos exigentes em potência, para atender um público mais amplo.
- Otimização da parte estrutural da maquina de preparo minimo, afim de propiciar uma melhor distribuição dos esforços conjugados atuantes.
- A màquina de preparo minimo de solo necessita de um mecanismo de regulagem, da profundidade de trabaho, que possa ser operado por um único homem. O mecanismo deve atender aos aspectos ergonômico e de custo.

9. SUMMARY

This work tried to improve the performance of a mimimum tillage machine prototype (MPM). Different time rake angles and the working depths of frontal times were evaluated. It was also a goal to determine the differences between the performance of the machine prototype and the conventional system, which used one pass of a disk plough two passes of a light disk harrow.

The experimental results showed that the prototype machine efficiently cuts crop residues and weeds for all times used. It is also possible to work with shallow times ahead of the chisels with no important loss in its performance, considering the soil disturbance.

Because it does not excessively revolve the soil, a signifficant amount of residues were left on the surface and the infestation of weeds was satisfactorily controlled. The prototype machine satisfactorily controlled weeds as a result of less soil motion and larger amount of residues left on the surface.

As far as the soil disturbance is concerned, a less desagregation was obtained with the minimum tillage as compared to the conventionanl one.

10. REFERENCIAS BIBLIOGRAFICAS

- ALMEIDA, F.S. & RODRIGUES, B.N. Controle de plantas daninhas em plantio direto. Londrina, IAPAR, 1991. 34p. (IAPAR, Circular, 67).
- BENEZ, S.H. Sugestões para padronização das pesquisas com preparos reduzidos de solo. In: CONGRESSO BRASILEIRO DE ENGENHARIA AGRICOLA, 11. Brasilia. 1981. Anais do..., Sociedade Brasileira de Engenharia Agricola, 1981. p. 1453-1455.
- BELTRAME, L.F.S. Avaliação do desempenho de três subsoladores em latossolo vermelho escuro. <u>Engenharia Agricola</u>, Botucatu. 7 (1): 37-52, 1983.
- BOLLER, W. <u>Desenvolvimento de complementos para semeadoras em solo sob preparo reduzido.</u> Santa Maria, UFSM, 1990, 146p. (Tese de Mestrado UFSM).
- CASÃO Jr., R. <u>Mecanização agricola</u>: <u>Estratégia de desenvolvimento de implementos agricolas pelo IAPAR no Paraná</u>. Londrina, IAPAR, 1989.
 - --- ; ARAUJO, A.G.; MERTEN, F.H.; HENKLAIN, J. C.; MONICE, FILHO, R.G. <u>Preparo do solo e elementos de planejamento da mecanização agricola</u>. IAPAR, 1990. (Apostila).
 - ---; CAVILIONE, J.H.; MORINI, A.A.; ARAUJO, A.G.; RIBEIRO, M.F.S., SILVA, A.C.R.; DEL GROSSI, M.E. Mecanização Agricola no Brasil uma proposta para o Parana. Londrina, IAPAR, 1991. p 140. (no prelo).
- CHICHESTER, F.W.; MORRISON JR., J.E., GERIK, T.J. Minimum disturbance fertilizer knifing for no-till. <u>Transactions of the ASAE</u>, St. Joseph, 28(4): 1013-18, 1985.

- DALLMEYER, A.U.; SALVADOR, N.; LAGE, G.; FERRAUDO, A. S.; GAMERO, C. A. Avaliações da rugusidade do solo sob doze tipos de preparo em Latossolo Roxo Alico. Aprensentado no CONGRESSO BRASILEIRO DE ENGENHARIA AGRICOLA, 18., Recife, 1989. 15p.
- DERPSCH, R.; HOOGMOED, W.; SIDIRAS N.; ALMEIDA F.S. A Escarificação como alternativa de preparo e conservação do solo. Apresentado no ENCONTRO NACIONAL DE PESQUISA SOBRE CONSERVAÇÃO DE SOLOS, 4., Campinas, 1982. 24p.
- DERPSCH, R.; SIDIRAS, N.; ROTH, C. Estudo e desenvolvimento de culturas incluindo espècies de cobertura verde e mètodos de preparo do solo. In: Relatório Final do Projeto, AcOrdo IAPAR GTZ. Londrina, 1984. 107p.
- FONTANA, C.; MIRANDA, N.O.; WEISS, A.; DALLMAYER, A.U. Efeito do preparo reduzido nas condições de superficie do solo e emergência de soja. In: CONGRESSO BRASILEIRO DE ENGENHARIA AGRICOLA, 15., São Paulo, 1986. Anais do ... Botucatu, Sociedade Brasileira de Engenharia Agricola, 1986. p. 124-34.
- GAMERO, C.A. <u>Desagregação do solo em diferentes mêtodos de preparo do solo</u>. Apresentado no CONGRESSO BRASILEIRO DE ENGENHARIA AGRICOLA, 18., Recife, 1989. 15p.
- GAMERO, C.A.; BENEZ, S.H.; FURLANI JR., J.A. Anàlise do consumo de combustivel e da capacidade de campo de diferentes sistemas de preparo periòdico do solo. In: CONGRESSO BRASILEIRO DE ENGENHARIA AGRICOLA, 15., São Paulo, 1986. Anais do ..., Sociedade Brasileira de Engenharia Agricola, 1986. p. 1-9.
- GILL, W.R. & VANDEN BERG, G.E. Soil dynamics in tillage and traction. Washington, Department of Agriculture, 1968. 511p. (Agricultural Handbook 316).
- GODWIN, R.J.; SPOOR, G. Soil failure with narrow times. <u>J. Agric. Eng. Research</u>, 22(3):213-218, 1977.
- GODWIN, R.J.; SPOOR, G.; SOOMRO, M.S. The effect of tine arranjament on soil forces and disturbance. <u>J. agric. engng. res.</u> 30: 47-56, 1984.
- GOMES, F.P. <u>Curso de estatistica experimental</u>. 11. ed. São Paulo, Livraria Nóbel, 1985. 466p.
- HAYES, W.A. <u>Minimum tillage farming</u>. Brookffild, Debbie Lessier, 1982. 166 p.
- HEETIARATCHI, D.R.P.; REECE, A.R. Symetrical three-dimensional soil failure. <u>J. Terramechanics</u>, 4(3): 45-67, 1967.

- HEETIARATCHI, D.R.P.; WITNEY, B.D.; REECE, A.R. The calculation of passive pressure in two-dimensional soil failure. J. agric. eng. res. 11(2):89-107, 1966.
- HOOGMOED, W.B. <u>Final report on a consultancy to IAPAR</u> Londrina. Eschborn, GTZ, 1982. 174 p.
- JUSTINO, A. & MAGALHAES, P.S.G. Desenvolvimento e avaliação de um protótipo de máquina para preparo minimo de solo. In: CONGRESSO BRASILEIRO DE ENGENHARIA AGRICOLA, 19., Piracicaba, Anais do... Sociedade Brasileira de Engenharia Agricola, 1999. 2: 884-900.
- KLEIN, V.A. <u>Desenvolvimento de haste para escarificação em área sob sistema de plantio direto</u>. Santa Maria, UFSM, 1990, 79p. (Tese-Mestrado)
- LAFLEN, J.M.; AMEMIYA, A.; HINTZ, E.A. Measuring crop residue cover. J. of Soil and water conservation, Ankeny, Iowa, 36(6): 341-3, 1981.
- LANÇAS, K.P.; BENEZ S.H. Avaliação dos resultados operacionais obtidos para três formas geomètricas de hastes subsoladoras. Energia na Agricultura, 4(1):27-34, 1989.
- LOMBARDI NETO, F.; DE MARIA, I.C.; CASTRO, O.M.; DECHEN, S.C.F.; VIEIRA, S.R. Efeito da quantidade de residuos culturais de milho nas perdas de solo e agua. R. Bras. Ci. Solo, Campinas, 12(1): 71-75, 1988.
- MAZUCHOWSKI, J.Z. & DERPSCH, R. <u>Guia de preparo do solo</u> <u>para culturas anuais mecanizadas</u>. Curitiba, ACARPA, 1984. 68 p.
- MCKEYS, E. Soil cutting and tillage. New York, 1985. Elsevier. 217 p.
- MCKEYS, E. & ALI, O.S. The cutting of soil by narrow blades. J. Terramechanics, 14(2): 43-58, 1977.
- MIRANDA, N.O. <u>Alterações físicas nos solos podzólico</u> vermelho amarelo e latossolo vermelho escuro submetidos a <u>diferentes condições de preparo reduzido</u>. Santa Maria, UFSM, 1986, 64 p. (Tese de Mestrado UFSM).
- MONDARDO, A.; HENKLAIN, J.C.; FARIAS, G.S.; RUFINO, R.L.; JUCKSH, I.; VIEIRA, M.J. <u>Controle da erosão no Estado do Paranà</u>. Londrina, IAPAR, 1977. 70 p. (IAPAR, Circular Tècnica, 3).
- MOREIRA, C.A.; COSTA, J.A.S.; MORAES, R.A.D. de M. Exigência de tração de arados e grades de discos de arrasto. Campinas, 1984. 20 p. (IAC, Boletin Técnico, 86).

- ORTIZ-CANAVATE, J.O. <u>Las máquinas agricolas y su aplicación</u>. Madrid, Ediciones Mundi-Prensa, 1980. 490p.
- OWEN, G.T. Soil disturbance associated with deep subsoling compact soils. Can. agric. eng., 30:33-37, 1988.
- PAYNE, P.C.J. The relationship between the mechanical properties of soils and the performance of simple cultivation implements. <u>J. Agr. Eng. Res.</u>, 4(1):23-50, 1956.
- PAYNE, P.C.J. & TANNER, D. W. The relationship between rake angle and the performance of simple cultivation implements. J. agric. engig. res., 4(4):312-25, 1959.
- REECE, A.R. <u>The fundamental equation of earthmoving mechanics</u>. Symposium on Eathmoving Machinery. London, Institute of Mechanical Engineers, Part 3f, 179, 1965.
- SHIKI, S. Mecanização agricola: homem e a terra sob impacto. Rev. bras. de tecnologia, 15(2):5-11, 1984.
- SIDIRAS, N.; HENKLAIN, J.C.; DERPSH, R. Comparação de três métodos de preparo do solo em relação a algumas propriedades físicas, perdas de solo e água e a produtividade de soja e trigo em um latossolo roxo distrófico. J. agronomy and crop cie., 151:137-48, 1982.
- SIDIRAS, N. & VIEIRA, M. Compactação em latossolo roxo provocada pelas rodas do trator na semeadura: comportamento físico do solo e rendimentos de três culturas. Trabalho apresentado no CONGRESSO BRASILEIRO DE CIENCIA DO SOLO, 19, Curitiba, 1983. 11p.
- SILVA, J.R.; KURACHI, S A.H.; MESQUITA, C.M.; BARRETO, J.N.; PETRONI, A.C. <u>Correlação entre esforço de tração e profundidade de subsolagem</u>. Campinas, IAC, 1984. 16p. (IAC, Boletin Técnico, 96).
- SILVA, D.D. & MUTTI, L.S.M. Arado de cinzel: avaliação do coeficiente de resistência a tração em função da velocidade e profundidade de trabalho. In: CONGRESSO BRASILEIRO DE ENGENHARIA AGRICOLA, 11, Seropédica, 1983. Anais do ... Sociedade Brasileira de Engenharia Agricola.
- SOUZA, W.R. <u>Subsolador: influência de parâmetros geomètricos na distribuição das forças.</u> Campinas, UNICAMP, 1989, 111p. (Tese de Mestrado-Faculdade de Engenharia Agricola UNICAMP).
- SORRENSON, W.J. & MONTOYA, L.J. <u>Implicações econômicas da</u> erosão do solo e do uso de algumas práticas conservacionistas no <u>Paraná</u>. Londrina, IAPAR, 1989. 104p. (IAPAR, Boletim tècnico, 21).

- SPOOR, G.; GODWIN, R.J. An investigation into the deep loosening of soil by rigid times. J. agric. engig. res., 23(3):243-258, 1978.
- VIEIRA, M.J. Solos de baixa aptidão agricola: opções de uso e têcnicas de manejo e conservação. Londrina, IAPAR, 1987. 68p. (IAPAR, Circular, 51).
- VIEIRA, M.J. Cultivo minimo comparado a outros sistemas; efeitos no solo e na planta. In: <u>ENERGIA NA AGRICULTURA</u>: TECNOLOGIAS POUPADORAS DE INSUMOS, 1, Jaboticabal, 1984. Anais... Jaboticabal, UNESP, FUNEP, 1985. p 33-54.

ANEXOS

ANEXO I - Valores obtidos de cobertura do solo em porcentagem.

Tratamentos	Bloco I	Bloco II	Bloco III	Bloco IV
MR1	61.80	90.52	82.10	77.17
MR2	83.64	78.26	69.04	59.18
MR3	69.58	64.13	89.65	80.00
MR4	69.11	64.19	77.64	71.26
MF5	60.10	85.88	90.90	81.52
MF6	62.50	86.66	79.54	85.41
PSC	23.15	00.00	18.75	19.78

ANEXO II - Valores obtidos para a area de solo mobilizada em cm².

Tratamentos	Bloco I	Bloco II	Bloco III	Bloco IV
MR1	2110	1811	1947	2568
MR2	2118	2234	1610	2032
MR3	1625	1824	1550	1955
MR4	1851	2431	1224	1426
MF5	1689	1395	1557	1774
MF6	1095	1197	1595	869
PSC	1838	1867	1860	2053

ANEXO III - Valores obtidos para presença de plantas in vasoras 6 dias após o preparo do solo em plantas por m².

Tratamentos	Bloco I	Bloco II	Bloco III	Bloco IV
MR1	29.34	5.32	25.32	10.68
MR2	25.32	12.00	26.70	26.60
MR3	29.34	17.32	36.00	20.00
MR4	22.50	46.90	29.30	33.36
MF5	29.30	12.00	16.00	24.00
MF6	34.40	16.00	51.00	30.70
PSC	9.32	2.67	1.32	1.32

ANEXO IV - Valores obtidos para presença de plantas in vasoras 12 dias apòs o preparo do solo em plantas por m².

Tratamentos	Bloco I	Bloco II	Bloco III	Bloco IV
MR1	257.3	172.0	245.3	190.7
MR2	161.2	200.0	240.0	170.7
MR3	228.0	100.0	272.0	264.0
MR4	198.4	156.3	154.7	313.5
MF5	257.2	250.6	180.0	212.0
MF6	253.3	158.7	282.6	144.0
PSC	134.7	101.3	176.0	157.2

ANEXO V - Valores obtidos para o diâmetro médio geomètrico em (mm).

	· **** **** **** **** **** **** **** *			the special state special state and approximate and approximat
Tratamentos	Bloco I	Bloco II	Bloco III	Bloco IV
MR1	23.55	31.90	14.54	32.18
MR2	11.86	12.06	20.72	27.78
MR3	7.04	8.79	5.22	23.82
MR4	3.82	4.32	14.27	4.23
MF5	10.52	17.70	13.80	10.15
MF6	5.01	15.91	26.12	3.66
PSC	8.07	6.63	4.19	4.73

ANEXO VI - Valores obtidos para consumo de combustivel l/ha.

Tratamentos	Bloco I	Bloco II	Bloco III	Bloco IV
MR1	14.0	17.6	14.8	17.8
MR2	12.1	13.0	12.8	12.3
MR3	13.2	14.0	14.1	14.0
MR4	12.4	11.7	11.3	12.5
MF5	9.2	9.2	8.2	8.3
MF6	8.7	8.0	8.2	7.9
PSC	24.1	23.1	22.6	23.8
DISCO	12.0	11.3	11.1	12.1
1ª GRAD.	6.7	6.2	6.0	6.1
2ª GRAD.	5.4	5.6	5.5	5.6

ANEXO VII - Valores obtidos para consumo de combustivel em ml/cm².

Tratamentos	Bloco I	Bloco II	Bloco III	Bloco IV
MR1	6.63	9.71	7.60	6.93
MR2	5.71	5.81	7.95	6.05
MR3	8.12	7.67	9.09	7.16
MR4	6.69	4.81	9.23	8.76
MF5	5.44	6.59	5.26	4.67
MF6	7.94	6.68	5.14	9.09
PSC	13.11	12.37	12.15	11.59

ANEXO VIII - Valores obtidos de biomassa presente na årea em ton/ha.

	-			
Tratamentos	Bloco I	Bloco II	Bloco III	Bloco IV
MR1	5.4	8.5	12.8	13.0
MR2	8.2	9.2	5.2	9.6
MR3	9.8	5.0	7.0	7.6
MR4	11.2	9.8	6.6	12.0
MF5	9.2	11.6	3.6	15.0
MF6	3.2	4.2	7.2	7.6
PSC	8.2	9.8	8.0	9.2

ANEXO IX - Valores obtidos para velocidade de deslocamento do conjunto trator/implemento durante o trabalho em km/h.

Tratamentos	Bloco I	Bloco II	Bloco III	Bloco IV
MR1	3.70	2.91	3.29	2.76
MR2	4.01	3.99	3.89	4.12
MR3	3.92	3.83	4.13	3.70
MR4	4.30	4.49	4.48	4.40
MF5	5.49	5.68	5.81	5.90
MF6	5.93	6.23	5.99	5.76
DISCO	3.76	3.69	3.72	3.91
1ª GRAD.	7.29	6.74	6.53	6.56
2ª GRAD.	7.40	6.99	7.01	7.03

ANEXO X - Valores obtidos para porcentagem de agregados por classe de tamanho.

BLOCO I					•	BLOCO II									
CLAS	MRI	MR.2	MR3	MR4	MF.5	MF.6	PSC.		MR.I	MR.2	MR.3	MR.4	MF.5	MF. 6	PSC.
01	32,32	18,39	9,13	7,55	15,95	4,74	8,70		48,91	15,62	9,18	4,19	18,47	33,06	6,56
02	13,35	11,12	6,26	2,73	7,12	11,42	5,18		0,00	2,51	8,11	2,63	14,68	4,92	4,94
03	6,37	7,64	11,56	3,59	11,96	3,81	6,52		11,10	15,89	12,91	7,17	11,46	2,67	6,87
04	8,84	. 8,95	8,94	5,48	9,20	7,97	12,73		10,64	13,02	9,02	10,41	10,28	10,14	14,80
05	3,98	3,15	2,80	2,49	3,40	3,10	4,40		2,86	4,72	4,63	3,50	4,70	4,84	3,11
06	3,36	3,02	2,13	4,00	3,69	2,46	6,48		2,61	4,00	4,63	3,41	4,42	3,83	3,42
07	3,78	5,08	4,48	5,13	4,43	4,36	7,94		2,69	5,17	5,32	5,28	3,80	4,96	5,76
08	4,37	6,98	7,64	8,65	6,58	7,50	8,55		2,89	5,57	6,11	6,81	5,31	5,76	7,51
09	5,72	10,51	13,38	16,06	9,11	12,78	13,35		5,56	9,00	48,35	12,52	7,3 5	8,37	16,19
10	16,91	25,16	33,68	44,32	28,56	41,86	26,11		12,74	24,49	31,75	44,08	19,53	21,46	30,84

		BLO	COI	Щ						BL	oco	IV			
01	26,34	38,07	0,0	38,28	22,79	41,30	3,61		44,91	17,53	34,11	82,3	10,16	0,00	11,15
02	10,63	6,05	14,54	5,40	11,18	9,77	0,00		8,46	31,65	12,31	0,00	14,11	2,92	00,0
03	8 ,7 4	8,08	6,64	3,30	7,31	77,7	8,50		10,07	9,38	9,43	5,10	8,56	7,09	4,17
04	7,74	9 ,05	7,66	4,22	9,66	6,15	9,45		7,23	9,12	5,82	6,33	6,77	8,04	7,68
05	3,15	2,56	3,82	2,00	2 ,73	3,24	4,29		1,46	3,37	2,71	3,34	9,45	3,46	3,51
06	2,09	2,26	1,98	1,00	2,56	2,48	4,12		2,80	2,51	4,16	4,78	2,37	3,63	3,89
07	3,12	2,78	5,41	3,60	4,19	3,13	5,63		3,63	3,93	4,43	6,87	4,56	7,64	7,01
08	3,66	4,08	8,08	6,20	6,13	3,50	8,39		3,70	3,52	4,42	9,65	6,44	8,51	9,15
09	7,53	6,20	10,34	9,55	9,05	5,86	14,13		4,49	6,01	6,20	13,43	3 Z 5	14,02	: 13,19
10	27,00	20,87	41,54	26,46	24,41	16,79	41,88		13,24	12,97	16,41	41,53	28,24	44,34	40,25

ANEXO XI - Esquema da analise de variancia.

=======================================	=======================================
Causa da	Graus de
Variação	Liberdade
Blocos	3
Tratamentos	6
Residuo	18
Total	27

ANEXO XII - Média, desvio padrão, coeficiente de variação e diferença minima significativa ao nivel de 5% de probabilidade dos parâmetros
estudados.

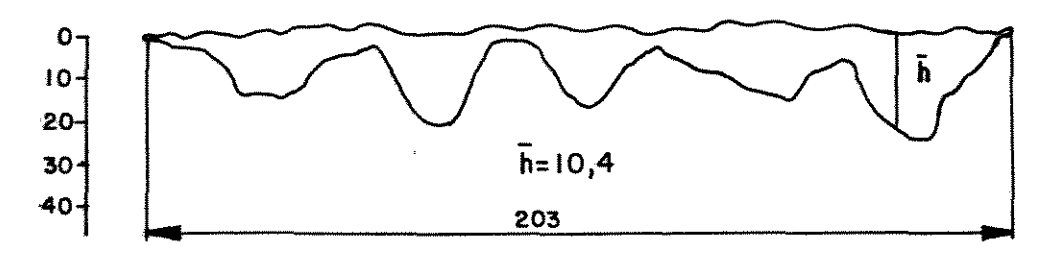
PARÂMETRO	MÉDIA	DESVIO PADRÃO	COEFICIENTE DE VARIAÇÃO	D.M.S (5%)
Porcentagem de cobertura do so- lo (%)	67,18	23,7	15,94	25,01
Área do s o lo mobilizada (cm²)	1753,75	389,5	17 ,5 8	720,02
Presença de plan tas invasoras por m²,6 dias após o preparo	22,28	12,7	42,11	21,91
Presença de pl a n tas invasoras por m ² , 12 dias após o preparo	201,13	10,0	26,53	1 2 4,63
Diâmetro médio geométrico (mm)	13,29	8,9	54,52	l 6,92
Consumo de combustível (I/ha)	13,53	4,9	6,45	2,03
Consumo de com bustível por áreo de solo mobilizado (mi / cm²)	7,78	2,3	1 7,80	3,23
Biomassa preser te na área de en saio em (ton/ha)	8,48	2,9	30,60	6,06

ANEXO XIII - Dados diarios de precipitação em (mm), para os meses de janeiro a novembro de 1990. Dados fornecidos pelo CPQBA.

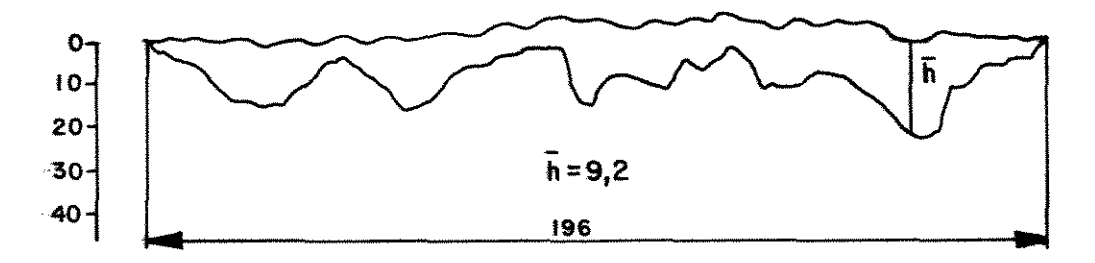
Meses (Precipitação em mm)											
DIA	JAN.	FEV.	MAR.	ABR.	MAI.	JUN.	JUL.	AGO.	SET.	OUT.	NOV.
Oi	40,0	0,0	17,0	0,0	0,0	0,0	0,0.	0,0	0,0	8,0	0,0
02	19,0	2,4	0,0	0,0	0,0	0,0	0,0	0,0	0,0	3,0	0,0
03	35,0	0,0	0,0	3,8	0,0	0,0	0,0	0,0	15,0	0,0	0,0
04	70,0	0,0	0,0	0,0	0,0	0,0	0,0	0,0	0,0	11,0	0,0
05	46,0	0,0	35,0	0,0	0,0	0,0	15,0	0,0	5,0	0,0	80,0
06	0,0	0,0	18,0	0,0	2,0	0,0	10,0	0, 0	0,0	0,0	1,0
07	0,0	29,0	0,0	0,0	0,0	0,6	0,0	0, 0	0,0	0,0	2,0
80	10,0	0,0	0,0	0,0	0,0	0,0	0,0	0,0	,0, 0	0,0	2,0
09	5,0	0,0	10,0	2,6	0,0	0,0	0,0	2, 2	0,0	2,0	0,0
10	10,0	0.0	0,0	0,0	0,0	0,0	1,0	0,0	2,0	0,0	0,0
1 1	16,0	0,0	0,0	0,0	2,0	0,0	2,0	0,0	0,0	0,0	0,0
12	5,0	6,0	0,0	0.0	0,0	0,0	0,0	0,0	0,0	0,0	15,0
13	0,0	60,0	0,0	0,0	0,0	0,0	0,0	0,0	13,0	0,0	0,0
14	0,0	3,0	0,0	0,0	0,0	0,0	0,0	0,0	30,0	0,0	0,0
15	7,0	2,0	0,0	0,0	0,0	0,0	0,0	0,0	. 0,0	20,0	0,0
16	55,0	4,4	0,0	0,0	25,0	0,0	0,0	0,0	0,0	3,0	0,0
17	0,0	0,0	0,0	0,0	5,0	0,0	37,0	10,0	0,0	8,0	0,0
18	0,0	0,0	0,0	9,0	6, 0	4,0	5,0	0,0	0,0	0,0	0,0
19	0,0	0,0	75,0	7,0	0,0	0,0	47,0	0,0	0,0	15,0	15,0
20	0,0	0,0	5, 0	22,0	0,0	0,0	15,0	18,0	0,0	0,0	0,0
21	0,0	0,0	0,0	0,0	0,0	6,0	0,0	0,0	0,0	25,0	0,0
22	0,8	0,0	9,0	0,0	0,0	0,0	0,0	0,0	0,0	0,0	0,0
23	50,0	7,0	18,0	0,0	0,0	0,0	0,0	0,0	0,0	0,0	0,0
2 4	0,0	0,0	0,0	0,0	0,0	0,0	13,0	0,0	10,0	0,0	0,0
25	0,0	0,0	0.0	0,0	0,0	0,0	2,2	0,0	0,0	0,0	0,0
26	0,0	0,0	3,0	0,0	0,0	0,5	0,2	0,0	0,0	0,0	10,0
27	0,0	0,0	0,0	0,0	0,0	0,0	5,5	0,0	0,0	0,0	13,0
28	6,0	35,0	0,0	0,0	0,0	0,0	0,0	12,0	0,0	0,0	0,0
29	0,0	,	0,0	0,0	0,0	0,0	0,0	0,0	0,0	0,0	0,0
30	0,0		0,0	0,0	0,0	0,0	0,0	0,0	0,0	0,0	0,0
31	0,0		0,0	*****	0,0		0,0	0,0		0,0	

ANEXO XIV - Perfil mobilizado do solo do tratamento MR1.

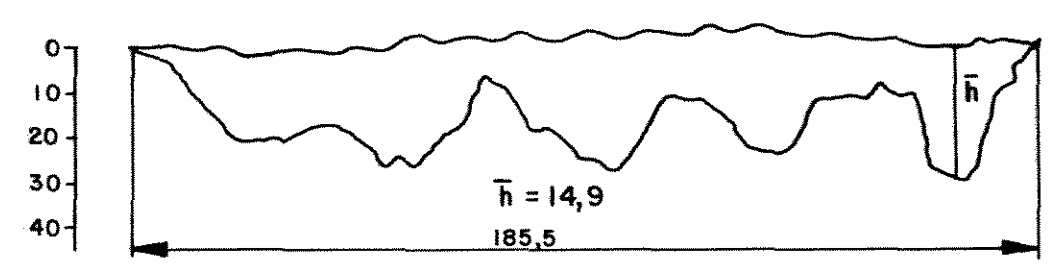
PERFIL MOBILIZADO BI TI



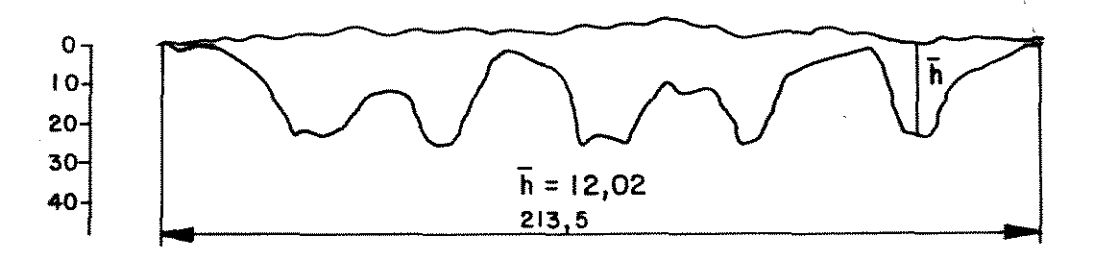
PERFIL MOBILIZADO BII TI



PERFIL MOBILIZADO BIII TI

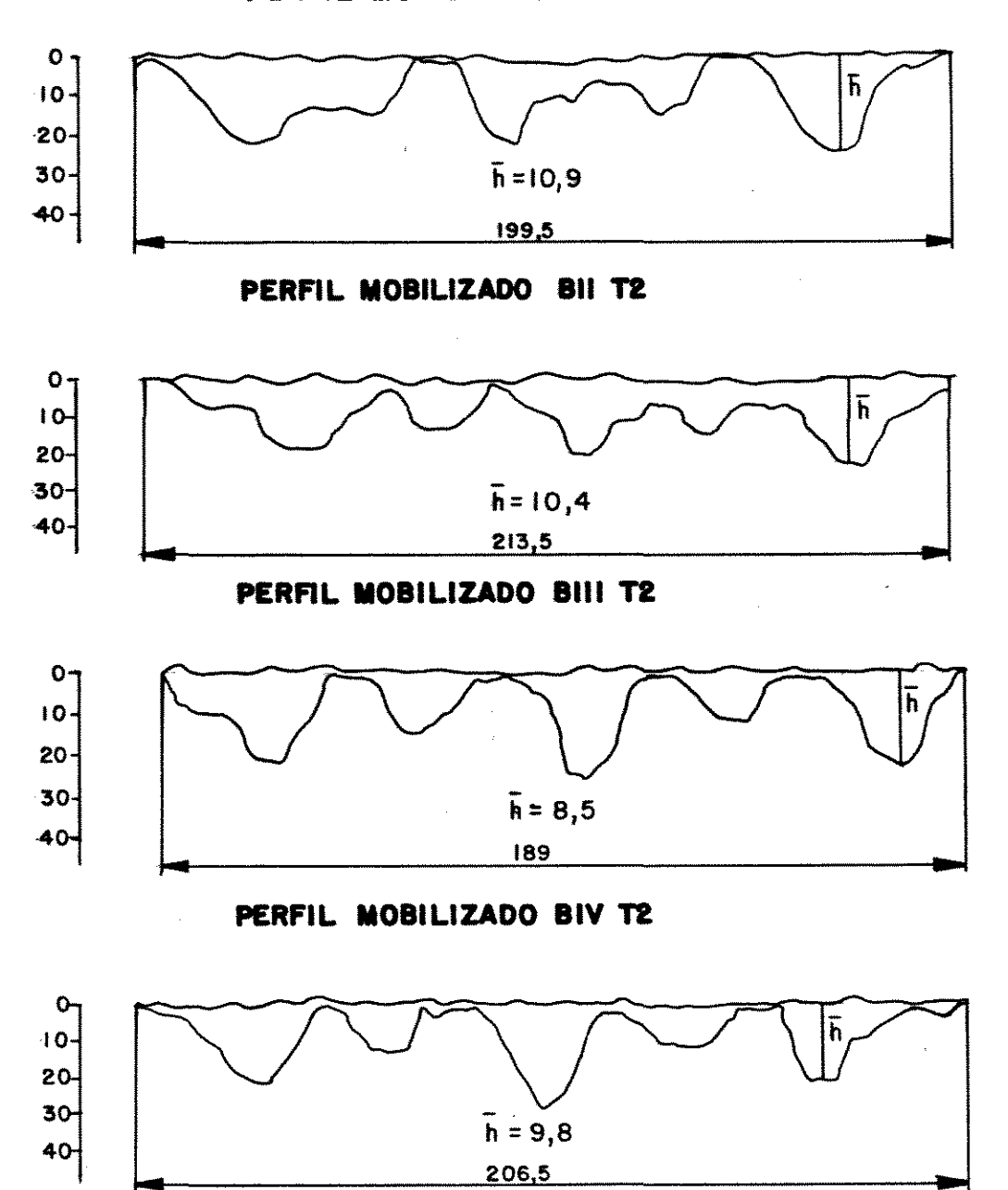


PERFIL MOBILIZADO BIV TI



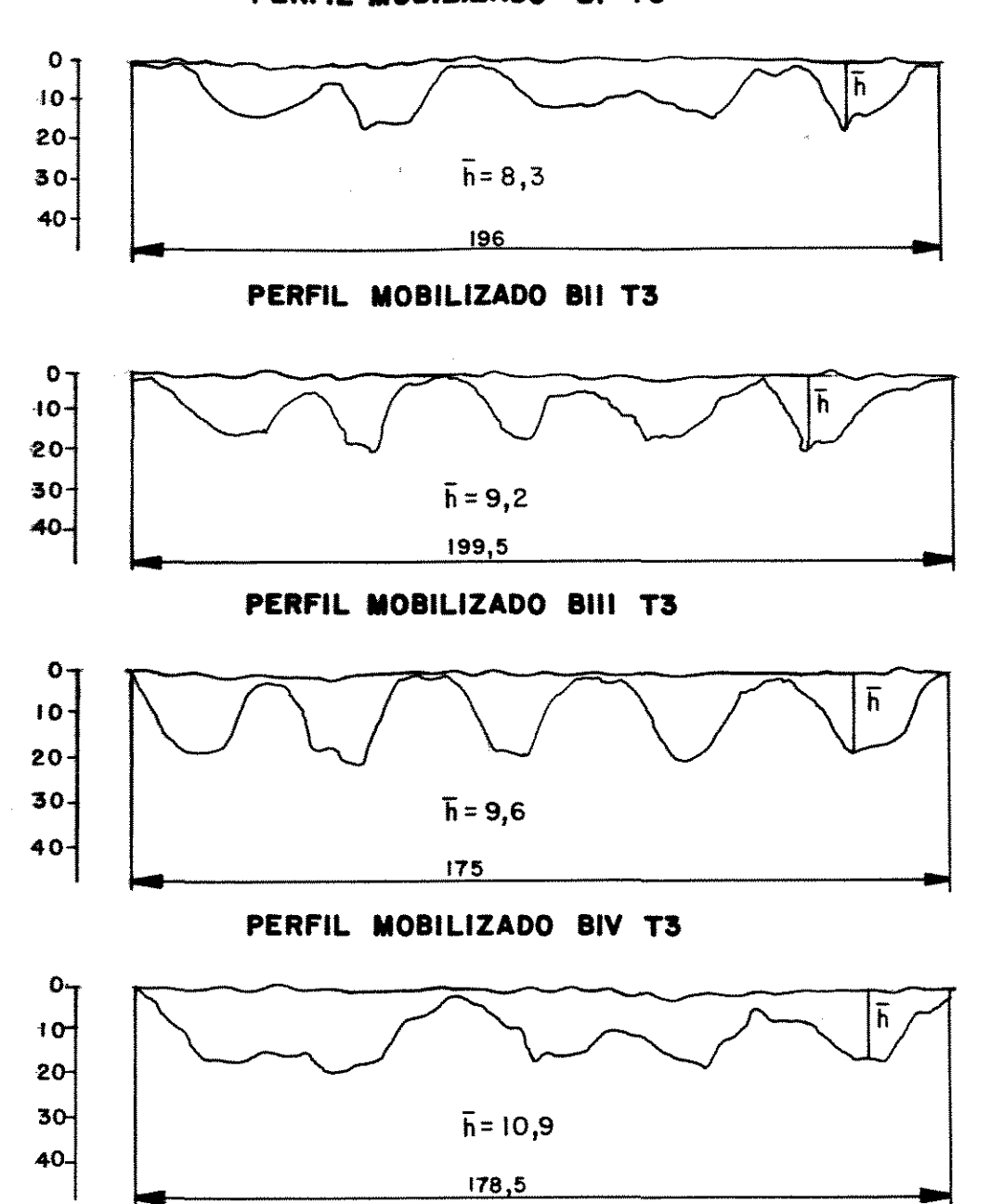
ANEXO XV - Perfil mobilizado do solo do tratamento MR2.





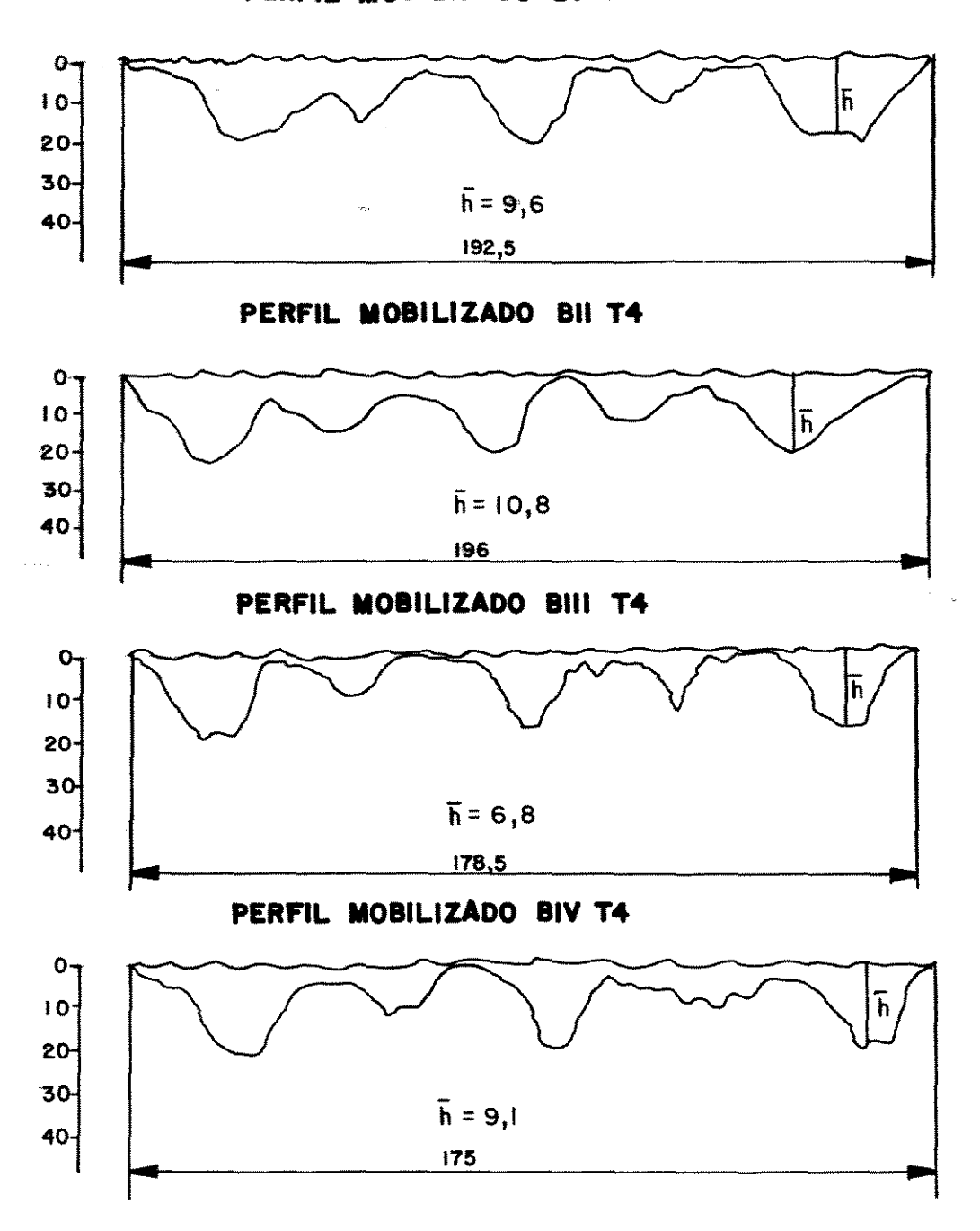
ANEXO XVI - Perfil mobilizado do solo do tratamento MR3.

PERFIL MOBILIZADO BI T3



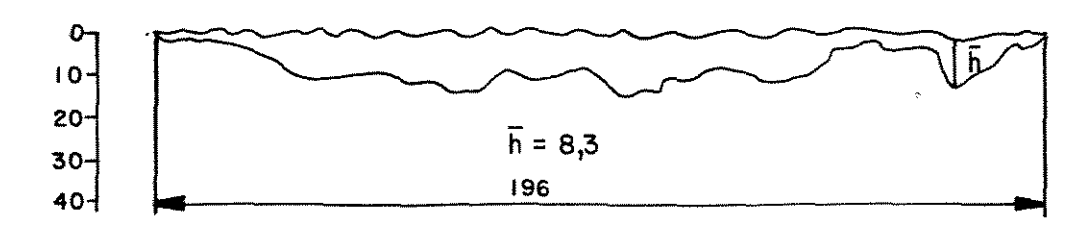
ANEXO XVII - Perfil mobilizado do solo do tratamento MR4.



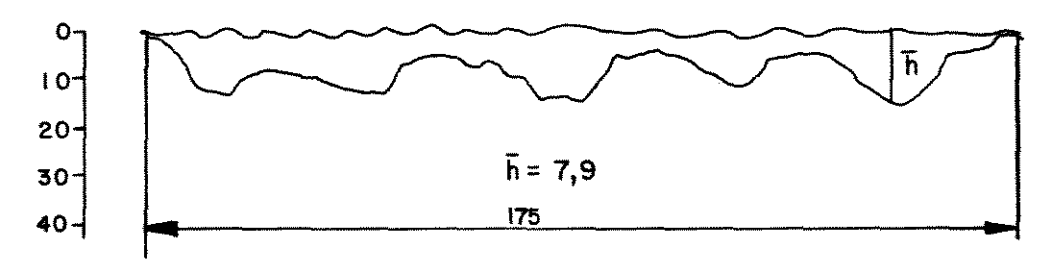


ANEXO XVIII - Perfil mobilizado do solo do tratamento MF5.

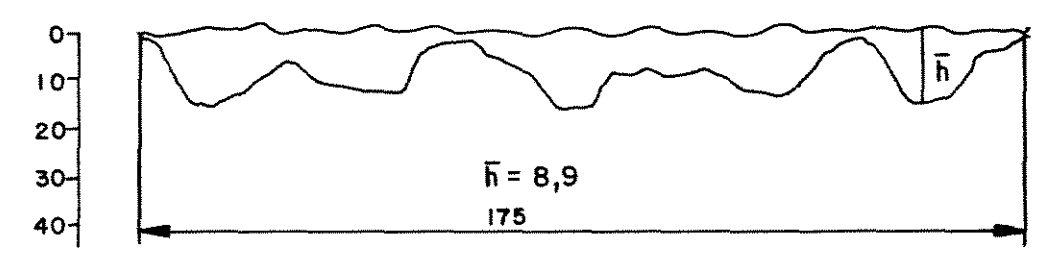




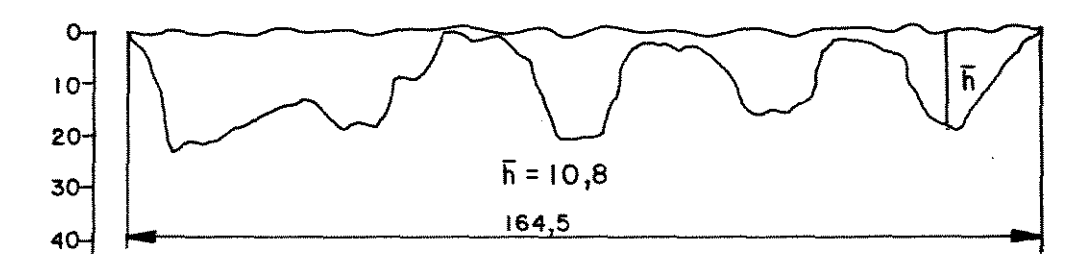
PERFIL MOBILIZADO BII T5



PERFIL MOBILIZADO BIII T5

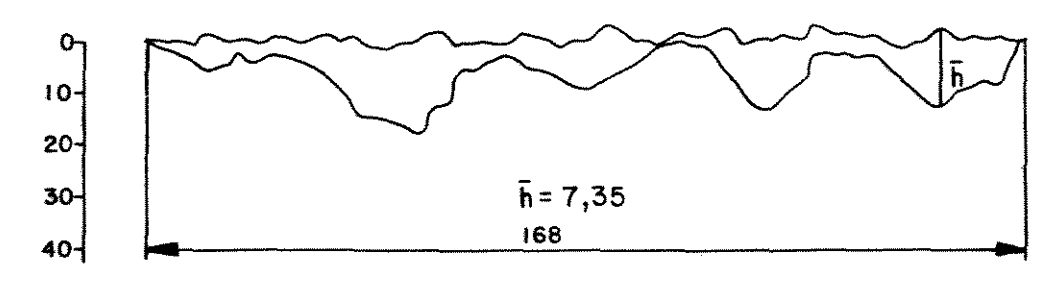


PERFIL MOBILIZADO BIV T5

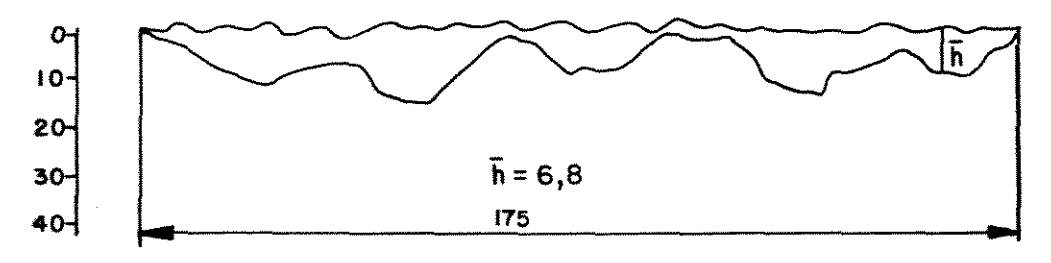


ANEXO XIX - Perfil mobilizado do solo do tratamento MF6. Campinas, 1991.

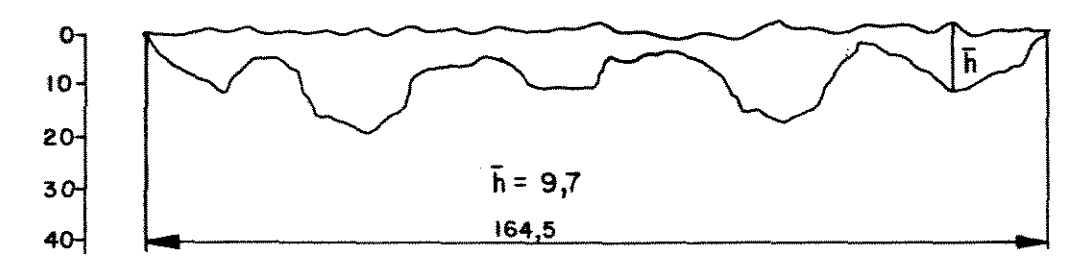




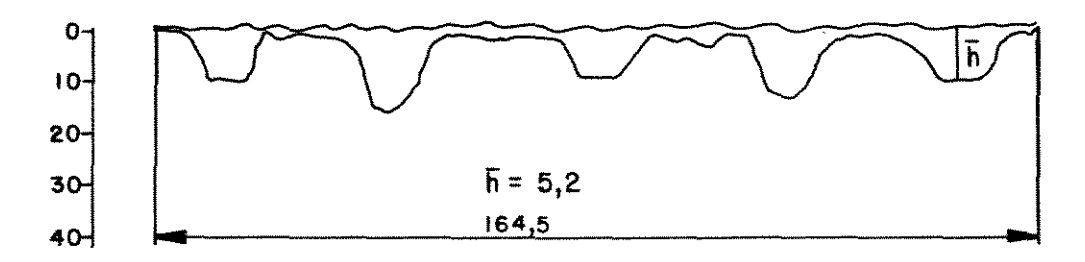
PERFIL MOBILIZADO BII T6



PERFIL MOBILIZADO BIII T6

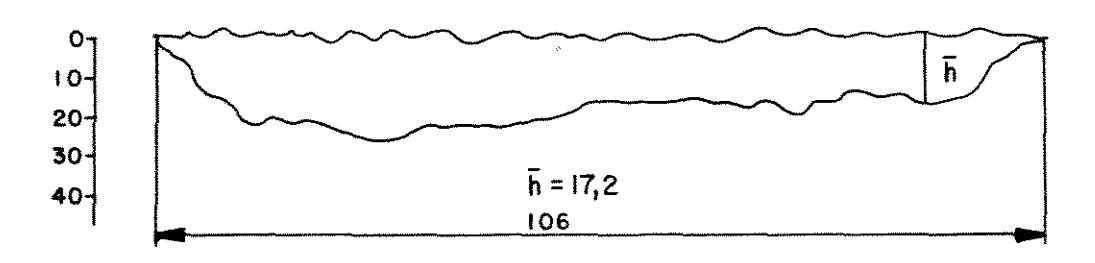


PERFIL MOBILIZADO BIV T6

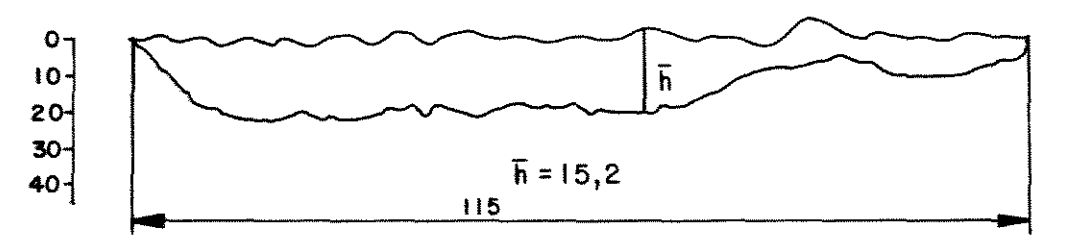


ANEXO XX - Perfil mobilizado do solo do tratamento PSC.

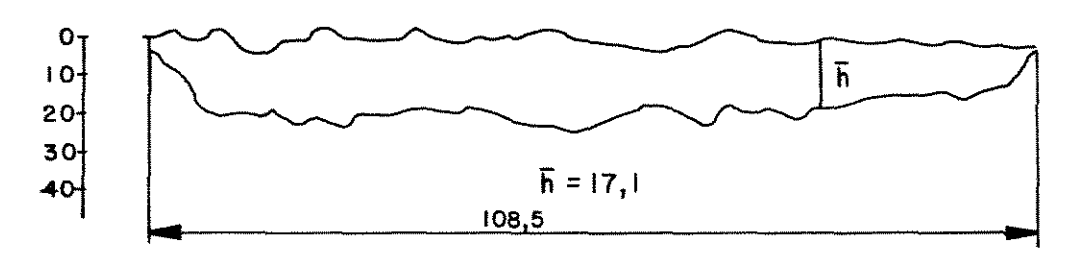




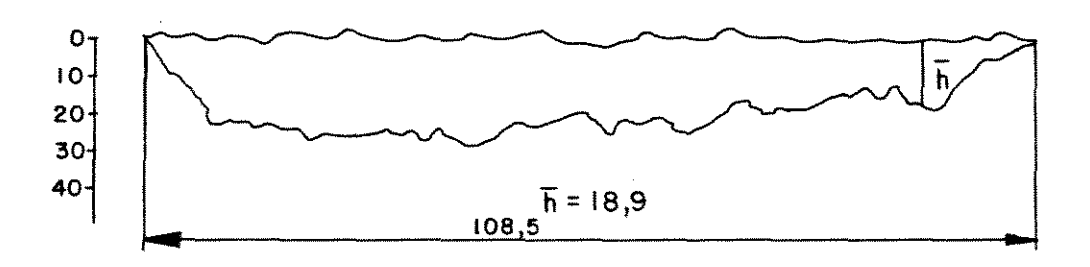
PERFIL MOBILIZADO BII T7



PERFIL MOBILIZADO BIII T7



PERFIL MOBILIZADO BIV T7



ANEXO XXI - Detalhe da parcela do Bloco I após a ação da MPM com o tratamento MR1 (A) e detalhe da ação da MPM com o tratamento MR2 (B).



A



В

ANEXO XXII - Detalhe da parcela do Bloco I após a ação da MPM com o tratamento MR3 (A) e deta-da ação da MPM com o tratamento MR4 (B).



A



В

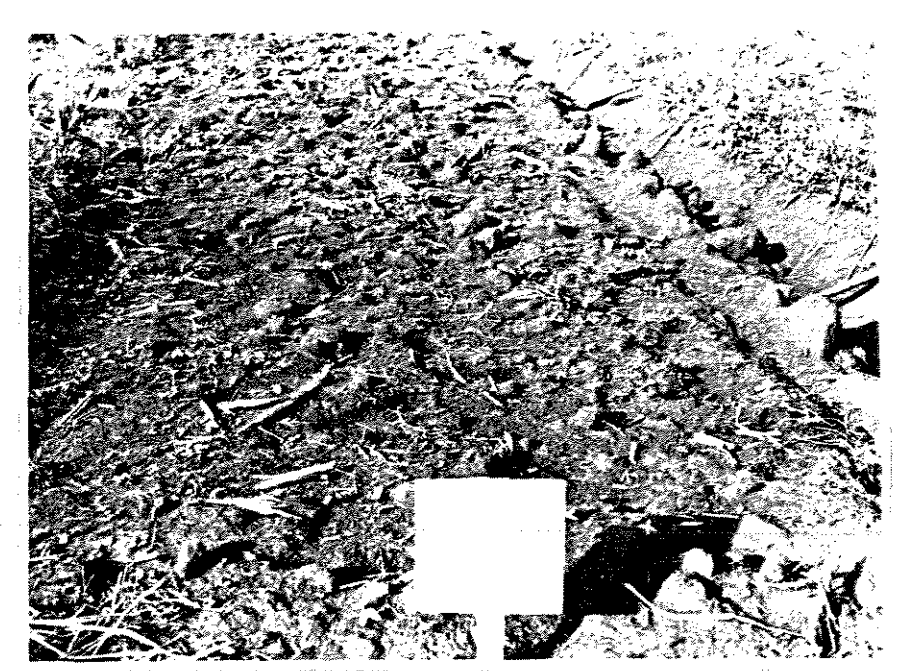
ANEXO XXIII - Detalhe da parcela do Bloco I após a ação da MPM com o tratamento MF5 (A) e detalhe da parcela do Bloco I com o tratamento MF6 (B).



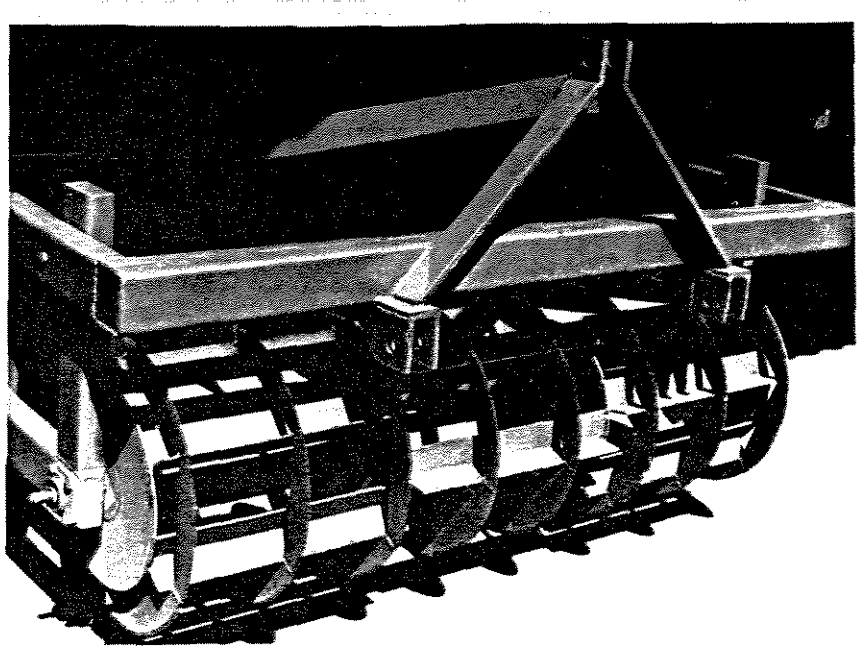
..

В

ANEXO XXIV - Detalhe da parcela do Bloco I após a ação do tratamento convencional PSC (A) e
detalhe do Rolo de Corte de residuos e ve
getação presente no terreno (B).



A



B

ANEXO XXV - Perfis teòricos obtidos através do modelo de Goodwin et al. (1977). Angulo de 45º e 65º e 27 cm de profundidade para as cinco hastes (A) e (C). Angulo de 45º e 65º e profundidade das hastes dianteiras de 17 cm e traseiras de 27 cm, (B) e (D).

